

Thorax : mésonotum brillant, très fortement ponctué (degrés 4 et 5), intervalles en moyenne moindres que le diamètre de la ponctuation, celle-ci plus dense antérieurement, lobes latéraux légèrement plus élevés que la partie médiane; sillon préscutellaire particulièrement large, formé de 4 ou 5 augets; disque du scutellum brillant, très convexe, à forte ponctuation

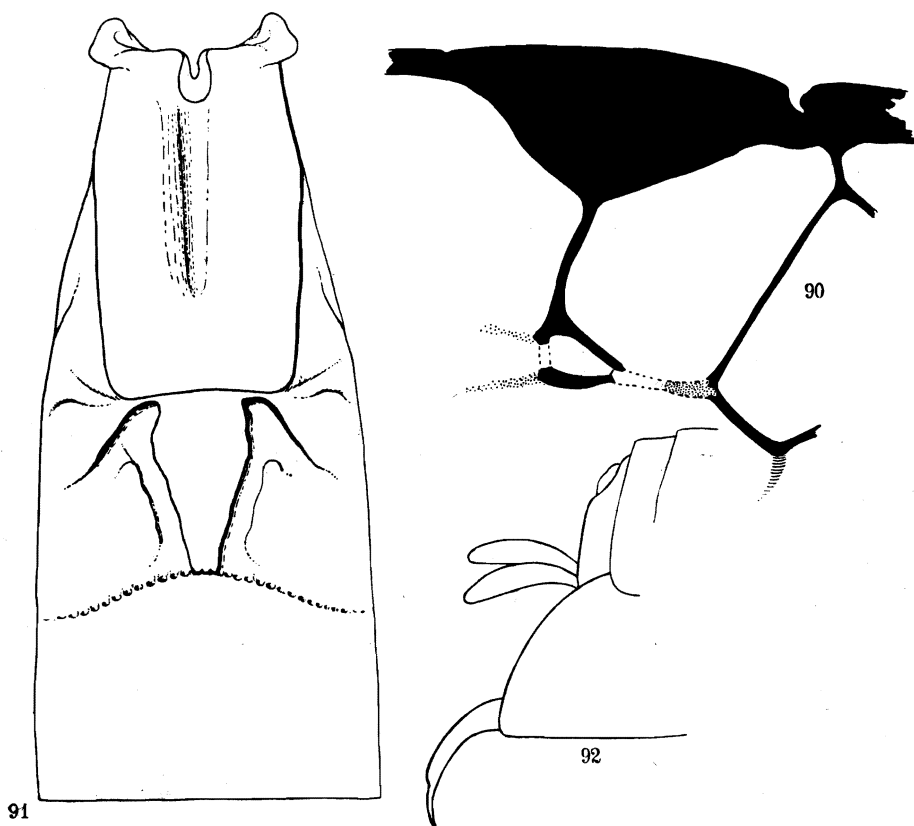


FIG. 90-92. — *Microgaster megalax* sp. n.

FIG. 90. — Détail de la nervation des ailes antérieures.

FIG. 91. — Détail des trois premiers tergites abdominaux.

FIG. 92. — Apex de l'abdomen.

(degré 4), un peu moins dense au milieu que sur le mésonotum, extrême apex rugueux; mésopleures brillants, lisses à la partie supérieure, fortement ponctués dans l'angle huméral, avec une petite ponctuation non sétigère et éparse vers le bas, cochléar grand à bord inférieur striolé; métapleures lisses antérieurement, grossièrement ponctués ailleurs; propodeum fortement et grossièrement ponctué et vaguement strié transversalement, de part et d'autre de la forte carène longitudinale médiane, jusqu'à une carène latérale

préoperculaire, entre cette dernière et la carène latérale externe (postoperculaire) se trouve une large bande ruguleuse.

Ailes (fig. 90) : largeur du stigma plus grande que la longueur de la 1^{re} abcisse de la radiale; récurrente et partie apicale de la 1^{re} abcisse de la cubitale (celle-ci punctiforme) égales, un peu plus longues que la 1^{re} transverso-cubitale; 2^e transverso-cubitale punctiforme et environ double de la 2^e abcisse de la radiale; stigma un peu plus court que le métacarpe.

Pattes III : hanches fortement et densément ponctuées en dessus, à ponctuation plus éparsée sur la face externe; fémurs ponctués à peu près comme le dessus des hanches, moins densément et plus régulièrement. Proportions : hanches, 34/55; fémurs, 18/65; tibias, 13/76; tarses : I, 42; II, 15; III, 12; IV, 10; V, 12; le plus long éperon des tibias environ les 3/5 et le plus court les 2/5 de la longueur des métatarses.

Abdomen (fig. 91) : tergite I brillant, striolé longitudinalement et marqué d'un profond sillon médian dans les 2/3 basilaires, grossièrement et densément ponctué à l'apex, celui-ci tronqué et à angles arrondis, longueur médiane du tergite un peu plus de 2 fois sa largeur apicale qui est à peine plus étroite que la largeur basale et un peu plus des 2/3 de sa plus grande largeur (30 : 13 : 14 : 18), ses bords latéraux faiblement divergents jusqu'au 1/3 basal, ensuite presque parallèles jusqu'à l'apex, le tergite recourbé peu avant ce dernier; tergite II marqué de deux larges sillons discaux convergents vers l'apex, délimitant une aire médiane longuement triangulaire, irrégulièrement striée longitudinalement à la base, et de deux rebords divergents qui ne constituent, en réalité, que le bord d'un sillon séparant la partie lisse antérieure de la partie sculptée postérieure plus déprimée, où la limite du sillon a disparu, les parties latérales plus ou moins ruguleuses; 2^e suture largement arquée médialement et petitement crénelée; tergite III brillant, petitement ponctué dans les 2/3 basilaires; (chez le ♂, le tergite I est plus court et plus étroit, en conservant le même rapport dans les proportions); hypopygium non membraneux à apex arrondi; valves de la tarière courtes, falciformes, environ de la longueur du plus court éperon des métatarses III (fig. 92).

Longueur : 4 mm.

DISTRIBUTION GÉOGRAPHIQUE : Rutshuru (alt. 1.285 m., 4.VII.1935), holotype ♀; Rutshuru (alt. 1.285 m., 1-6.VI.1935), allotype ♂ et paratypes; Rutshuru, Buhanya (alt. 1.200 m., 6.VII.1935); 4 exemplaires : 3 ♂♂, 1 ♀.

38. — **Microgaster wittei** sp. n.

(Fig. 93-98.)

♀ : noire; palpes, pattes I et II (excepté les tarses), partie inférieure à l'apex des hanches, trochanters, trochantelles et fémurs (sauf une légère enfumure apicale) des pattes III, jaune à jaune-rouge testacé; tarses I et II

(ceux-ci plus sombres), tibias III (sauf une enfumure apicale) et tegulae, rouge testacé; flagellum jaune brunâtre, sale à la base, à peu près noir apicalement; tarsi III, brun rougeâtre foncé; scapes antérieurement, mésonotum (excepté la plus grande partie des lobes), axillae (parfois partiellement), partie postérieure du propectus, calus huméral des mésopleures, mésosternum à la base et latéralement, rougeâtres; bords latéraux membraneux des tergites I et II et parfois le bord apical du III, sternites de la base, rouge testacé; épérons des tibias pâles; ailes faiblement jaunâtres; nervation brune, 1^{re} abcisse de la cubitale, récurrente, basale et partie proximale des médiane et anale, plus claires; stigma avec une éclaircie d'étendue variable dans l'angle proximal, parfois très peu apparente chez la ♀, absente chez le ♂.

♂ : colorations semblables à celles de la ♀, flagellum noir brunâtre, parties rougeâtres du thorax parfois à peine visibles ou réduites; fémurs III plus fortement enfumés à l'apex, ainsi que les tibias, qui le sont parfois sur toute la longueur à la face supérieure.

La coloration thoracique rougeâtre est variable en étendue et en intensité, mais sa présence est toujours décelable, le thorax n'est toutefois jamais complètement de cette teinte. Cette coloration est généralement bien définie à la base du mésonotum et le long des lignes des notaulices dans la moitié basale.

♂ ♀. *Tête* : face brillante, carénée au milieu à la partie supérieure, à petite ponctuation (degré 1), espacée et régulière; clypéus différencié; ostioles faciales plus près de l'apex du clypéus que des yeux; vertex et occiput lisses et brillants médialement, à très fine ponctuation près des yeux se continuant sur les tempes; ocelles postérieurs distinctement plus près l'un de l'autre que des yeux; antennes près de 2/3 plus longues que le corps; 1^{er} article du flagellum 4 fois plus long que large (17 : 4), articles préapicaux environ 2 fois chez la ♀ (8 : 3,5), respectivement 3 fois (15 : 5) et 4 fois chez le ♂. Chez ce dernier, les articles apicaux sont donc particulièrement longs (fig. 93-94).

Thorax : mésonotum assez régulièrement et densément ponctué (degré 3); sillon préscutellaire faiblement arqué, profond et régulièrement divisé par des carènes étroites; disque du scutellum convexe, un peu plus long que sa largeur basale, marqué de la même ponctuation que le mésonotum, mais un peu plus espacée; mésopleures lisses et brillants, excepté dans l'angle huméral où ils portent une ponctuation régulière, plus forte que celle du mésonotum, qui se continue antérieurement, puis sur le mésosternum sous le cochléar; propodeum divisé par une carène longitudinale médiane, droite et mince, portant ailleurs une grossière ponctuation alvéolaire lui donnant un aspect rugueux, cette sculpture est souvent superficielle et toujours absente près des carènes apicale et latérale.

Ailes (fig 95): largeur du stigma et 1^{re} abcisse de la radiale d'égale longueur, près du double de la longueur de la 1^{re} transverso-cubitale, celle-ci, elle-même, double de la longueur de la 2^e abcisse de la radiale et de la 2^e transverso-cubitale punctiforme; récurrente un peu plus courte que la partie apicale hyaline de la 1^{re} abcisse de la cubitale; stigma de longueur égale au métacarpe chez le ♂, un peu plus court chez la ♀. La dimension de la 2^e cellule cubitale est un peu variable.

Pattes III (fig. 96) : hanches rugueuses, à forte ponctuation dense, parfois un peu aciculées sur la face externe où la ponctuation peut être un peu moins dense et est toujours espacée chez le ♂, chez lequel une aire lisse et brillante a tendance à apparaître; fémurs à petite ponctuation entremêlée d'extrêmement fines acicules; tibias à dépression préapicale sur la face externe. Proportions : hanches, 23/40; fémurs, 11/50; tibias, 10/56; tarses : I. 31; II, 13; III, 10; IV, 8; V, 10; le plus long éperon des tibias un peu plus long que la moitié et le plus court le tiers de la longueur des métatarses.

Abdomen (fig. 97) : tergite I entièrement aciculé longitudinalement, plus finement aciculé dans le tiers apical où il porte une grande ponctuation allongée, dense, lui donnant un aspect grossièrement rugueux, légèrement excavé à la base avec un petit sillon médian, un peu convexe et courbé dans le tiers apical, sa longueur médiane 2,5 fois sa largeur apicale, 2 fois sa largeur basale et 1,66 fois sa plus grande largeur située peu avant l'apex (20 : 8 : 10 : 12), ce tergite est légèrement cintré au milieu, plus large près de la base et vers l'apex, ses bords latéraux s'incurvent légèrement pour atteindre celui-ci qui est tronqué; tergite II orné d'une aire médiane en relief occupant toute sa longueur, plus étroite à l'apex qu'à la base, 2 fois plus longue que sa largeur basale et limitée par des sillons larges et superficiels, parfois mal définis, à la base du tergite, deux sillons courts partent des angles apicaux du tergite I et divergent à environ 90°, l'aire médiane est longitudinalement striolée, latéralement ce tergite est déprimé, vaguement et superficiellement sculpté avec une extrêmement petite ponctuation sétigère; sa longueur médiane 1,5 fois plus longue que la largeur apicale du I et un peu plus courte que le III (12 : 8 : 14); 2^e suture distincte, latéralement un peu oblique; tergites III et suivants lisses et brillants, à très petite ponctuation latérale; apex de l'hypopygium à peu près à angle droit; valves de la tarière courtes, plus courtes que le plus long éperon des tibias III, dépourvues d'appendice (fig. 98).

Chez le ♂, le tergite I a ses bords latéraux plus parallèles et il est un peu plus étroit; longueur médiane du II un peu plus longue que la largeur apicale du I et 1,4 fois plus court que le III (10 : 8 : 14).

Longueur : 3 à 3,5 mm.

DISTRIBUTION GÉOGRAPHIQUE : Rweru, volcan Mikeno, forêt de Bambous (alt. 2.400 m., 26-27.VII.1934), holotype ♂ et paratypes; vers Rweru, volcan Mikeno, forêt de Bambous (alt. 2.400 m., 3, 12 et 20.VII.1934); lac Kanya-

menoni, vers le volcan Musule (alt. 2.300 m., 4.VIII.1934); lac Gando, volcan Karisimbi, Ruanda (alt. 2.400 m., 9.III.1935); mont Sesero, près de Bitashimwa, forêt de Bambous (alt. 2.000 m., 1-2.VIII.1934); Gitebe, volcan Nyamuragira (alt. 2.324 m., 14-26.VI.1935); Shamuheru, volcan Nyamuragira (alt. 1.843 m., 15.VI.1935); Kibga, volcan Visoke, Ruanda (alt. 2.400 m.,

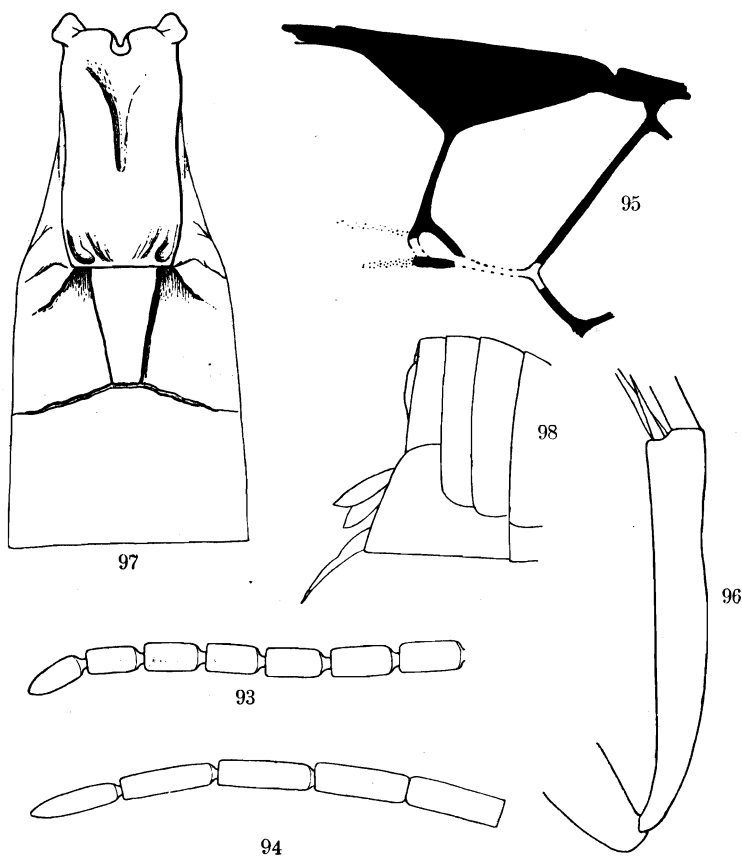


FIG. 93-98. — *Microgaster wittei* sp. n.

FIG. 93. — Sommet de l'antenne ♀. FIG. 94. — Sommet de l'antenne ♂.
 FIG. 95. — Détail de la nervation des ailes antérieures. FIG. 96. — Tibia postérieur.
 FIG. 97. — Détail des trois premiers tergites abdominaux.
 FIG. 98. — Sommet de l'abdomen.

11.II.1935); Nyabirehe, volcan Karisimbi, Ruanda (alt. 2.000 m., 22.II.1935); Burunga, Mokoto (alt. 2.000 m., 9-14.III.1934), allotype ♂ et paratypes; Nyasheke, volcan Nyamuragira (alt. 1.820 m., 14-26.VI.1935); Tshamugussa, Bweza, forêt de Bambous (alt. 2.250 m., 10.VIII.1934); volcan Visoke (alt. 2.800-3.300 m., 13-14.II.1935); 57 exemplaires : 40 ♂, 17 ♀.

AFFINITÉS : La coloration du thorax de *M. wittei* se rapproche assez bien de celle de *M. vacillatrix* WILKN., mais la longueur et la sculpture du 2^e tergite abdominal l'en séparent très nettement, les valves de la tarière sont aussi beaucoup plus courtes.

a) ***Microgaster wittei xanthostigma* ab. n.**

♂ ♀ : absolument semblables à *M. wittei*, en diffèrent seulement par une nervation plus pâle et le stigma diaphane et jaunâtre.

DISTRIBUTION GÉOGRAPHIQUE : Rweru, volcan Mikeno, forêt de Bambous (alt. 2.400 m., 26-27.VII.1934), holotype ♀ et paratypes; Tshamugussa, Bweza, forêt de Bambous (alt. 2.250 m., 10.VIII.1934), allotype ♂ et paratypes; 9 exemplaires : 4 ♂♂, 5 ♀♀.

b) ***Microgaster wittei major* ab. n.**

Semblable au ♂ de *M. wittei*, mais de taille plus forte.

♂ : longueur 3,9 mm. Fémurs III noirs dans le quart apical et sur une certaine longueur à la face supérieure; tibias III, brun noirâtre entièrement; tergite I rougeâtre à l'apex; aire médiane du tergite II, subcordiforme, assez proéminente, longueur médiane de ce tergite 1,2 fois la largeur apicale du I et les 2/3 du III (12 : 10 : 18); 2^e suture assez arquée.

DISTRIBUTION GÉOGRAPHIQUE : Kundhuru ya Tshuve, col Gahinga-Sabinyo, Ruanda (alt. 2.600 m., 18.IX.1934); lac Kanyamenoni, vers le volcan Musule (alt. 2.300 m., 14.VII.1934); 3 exemplaires ♂♂.

39. — ***Microgaster cincticornis* sp. n.**

(Fig. 99-103.)

♀ : noire; parties buccales, tegulae, pattes I et II entièrement (tibias et tarsi II un peu plus foncés), moitié apicale inférieure et apex des hanches, trochanters, trochantelles, fémurs (excepté l'apex et sur une plus ou moins grande étendue sur la face supérieure), base des tibias et tarsi (confusément) des pattes III, rouge testacé; tibias ailleurs et tarsi III, brun rougeâtre; parties latérales membraneuses des tergites I et II, plus ou moins les parties latérales de ce dernier et celles du III parfois largement, jaune-rouge à rouge testacé; articles du flagellum VI.VII et VIII, blanchâtres; palpes et éperons des tibias III, jaune testacé; aires transcutales et faiblement la base du prépectus, rougeâtres; ailes hyalines ou très faiblement enfumées entièrement et régulièrement; nervures et stigma bruns, médiane et anale plus claires à la base.

♂ : semblable à la ♀, excepté que les antennes sont unicolores.

♂ ♀. *Tête* : face brillante, un peu proéminente médialement, à très petite ponctuation espacée; clypéus à peine différencié de la face; ostioles faciales légèrement plus près de l'apex du clypéus que des yeux; vertex, occiput et

tempes virtuellement lisses; espace oculo-ocellaire plus grand que la distance séparant les ocelles postérieurs; antennes un peu plus longues que le corps et plus épaisses distalement; 1^{er} article du flagellum 4,5 fois plus long que large (18 : 4), articles préapicaux un peu plus longs que larges, courtement pédicellés (fig. 99).

Thorax : mésonotum légèrement satiné, à ponctuation régulière (degré 2 à 3) assez superficielle, les pointillés séparés, en moyenne, par environ leur propre diamètre, légèrement plus denses le long des lignes des notaulices; sillon préscutellaire large et profond, bien divisé par des carènes minces; disque du scutellum convexe, brillant, à ponctuation forte (degré 4), mieux marquée que sur le mésonotum, à peine plus espacée et portant une légère dépression préapicale paraissant esquisser l'ébauche d'un auget; mésopleures lisses et brillants, excepté une ponctuation dense sur la protubérance humérale, plus forte et plus espacée vers le mésonotum; cochléar à peine apparent; suture méso-métapleurale faiblement crénelée; métapleurales lisses antérieurement, grossièrement ponctués en arrière; propodeum assez mat, plus ou moins distinctement réticulé et ponctué, carène longitudinale médiane droite, non crénelée.

Ailes (fig. 100) : 1^{re} abcisse de la radiale plus courte que la largeur du stigma et près de 1,5 fois plus longue que la 1^{re} transverso-cubitale; aréole petite, 2^e abcisse de la radiale environ égale à la moitié de la longueur de la 1^{re} transverso-cubitale, à peine plus longue que la 2^e, celle-ci punctiforme, les abcisses distales de la radiale et de la cubitale fort rapprochées à leur base; partie apicale de la 1^{re} abcisse de la cubitale punctiforme, environ de longueur égale à la 1^{re} abcisse de la radiale et légèrement plus longue que la récurrente; stigma beaucoup plus court que le métacarpe.

Pattes III : hanches avec une forte ponctuation dense, presque rugueuse à la face supérieure, plus espacée sur la face externe où tend à apparaître une aire lisse; fémurs petitement et densément ponctués; tibias renflés à la face supérieure (fig. 101, comparer avec la fig. 96). Proportions : hanches, 22/38; fémurs, 13/50; tibias, 10/60; tarsi : I, 33; II, 12; III, 9; IV, 7; V, 10; le plus long éperon des tibias la moitié et le plus court le 1/3 de la longueur des métatarses.

Abdomen (fig. 102) : tergite I aciculé à rugueux longitudinalement dans les 2/3 basilaires et marqué d'un sillon médian, rugueux-rugueux et proéminent dans le 1/3 apical avec quelques pointillés sétigères, longueur médiane 2,4 fois la largeur apicale, 2 fois la largeur basale et 1,7 fois sa plus grande largeur située au milieu (24 : 10 : 12 : 14), bords latéraux divergents jusqu'au quart basal après un étranglement à l'extrême base, ensuite plus ou moins parallèles jusqu'au quart apical et légèrement convergents en ligne droite jusqu'à l'apex, celui-ci est droit à angles arrondis; tergite II portant une aire médiane longue, légèrement en relief, subtriangulaire, vaguement striolée longitudinalement et bordée de larges sillons superficiels au delà des-

quels le tégument est plus ou moins aciculé, ce tergite présente également à la base et de chaque côté de l'aire médiane deux sillons excurvés, à bord antérieur bien marqué, se dirigeant vers les bords latéraux mais sans les atteindre longueur médiane du tergite II à peine plus longue que la largeur apicale

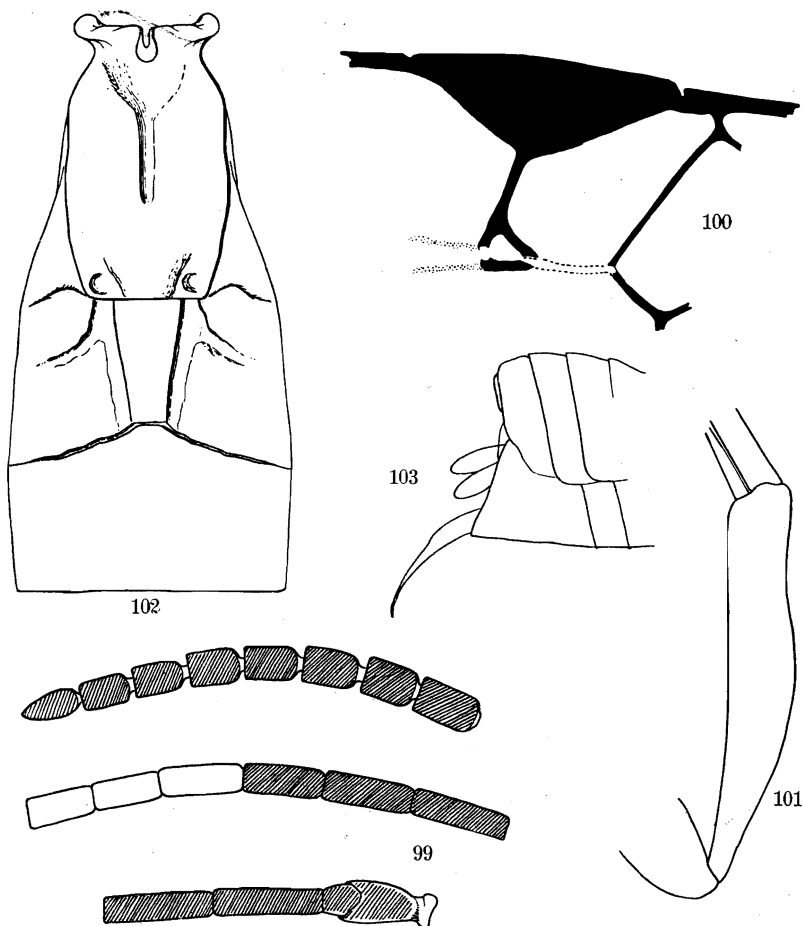


FIG. 99-103. — *Microgaster cincticornis* sp. n. ♀.

FIG. 99. — Antenne. FIG. 100. — Détail de la nervation des ailes antérieures.

FIG. 101. — Tibia postérieur. FIG. 102. — Détail des trois tergites abdominaux.

FIG. 103. — Apex de l'abdomen.

du I, 1,63 fois plus courte que sa propre largeur apicale et 1,36 fois plus courte que celle du III (11 : 10 : 18 : 15) (chez un spécimen, l'apex du tergite I est plus étroit et la longueur médiane du II un peu plus longue (8 : 13); 2^e suture bien marquée, latéralement oblique; tergites III et suivants, brillants, portant l'habituelle petite ponctuation; hypopygium un peu aigu; valves de la tarière

très courtes, environ égales aux 2/3 de la longueur du plus long éperon des métatarses III (fig. 103).

Longueur : 3,5 mm.

DISTRIBUTION GÉOGRAPHIQUE : Gitebe, volcan Nyamuragira (alt. 2.324 m., 14-26.VI.1935), holotype ♀ et paratypes; Mayumbu, volcan Nyamuragira (alt. 2.100 m., 14-26.VI.1935); Nyasheke, volcan Nyamuragira (alt. 1.820 m., 14-26.VI.1935), allotype ♂ et paratypes; Shamuheru, volcan Nyamuragira (alt. 1.842 m., 15.VI.1935); 19 exemplaires : 14 ♂♂, 5 ♀♀.

40. — **Microgaster homocera** sp. n.

(Fig. 104.)

Espèce ayant une grande affinité avec *M. cincticornis*.

♀ : noire, tegulae rouge sombre; pattes I et II nettement plus foncées que leurs hanches; extrême apex des fémurs III plus fortement assombris, rouge

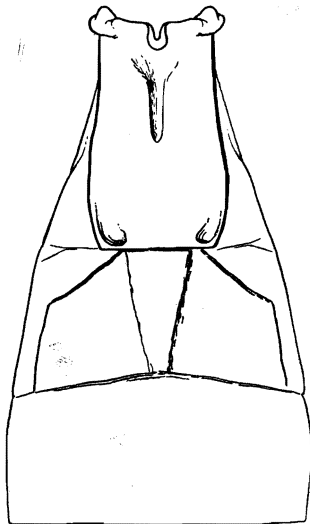


FIG. 104. — *Microgaster homocera* sp. n.,
détail des trois premiers tergites abdominaux.

testacé dans le 1/3 ou la moitié basale; extrême apex des hanches III rouge testacé; ailes enfumées légèrement et régulièrement; anneau blanchâtre aux antennes comme *M. cincticornis*.

♂ : semblable à la ♀, mais dépourvu d'anneau blanchâtre aux antennes, qui sont beaucoup plus longues, plus grêles et amincies distalement.

♂♀ : ostioles faciales distinctement plus près de l'apex du clypéus que des yeux; ponctuation du mésonotum et du disque du scutellum plus forte (degré 4), les pointillés séparés en moyenne par environ la moitié de leur propre diamètre; disque du scutellum à apex aigu; propodeum grossièrement

rugueux; hanches III assez régulièrement ponctuées sur la face externe, mais moins densément que sur la face supérieure; 2^e abcisse de la radiale écartée vers l'apex de l'aile; tergite I et II finement rugueux et mats, I grossièrement ponctué dans le 1/3 apical; aire médiane du II peu en relief, par suite moins apparente, aussi fortement sculptée que les parties latérales, ces parties plus larges que chez *M. cincticornis*, mieux délimitées latéralement et 2^e suture moins oblique latéralement; tergite III parfois finement aciculé à la base, plus largement au milieu; longueur médiane du tergite I, 2 fois les largeurs basale et apicale, environ 1,53 fois la plus grande largeur située au tiers apical (20 : 10 : 10 : 13), tergite II à peine plus long médialement que la largeur apicale du I, la moitié de sa propre largeur apicale et un peu plus court que le III (11 : 10 : 22 : 13) (fig. 104); apex de l'hypopygium presque à angle droit; valves de la tarière comme chez *M. cincticornis*.

Longueur : 3 à 3,5 mm.

DISTRIBUTION GÉOGRAPHIQUE : Nyasheke, volcan Nyamuragira (alt. 1.820 m., 14-26.VI.1935), holotype ♀, allotype ♂ et paratypes ♂♂; Mayumbu, volcan Nyamuragira (alt. 2.100 m., 14-26.VI.1935); Burunga, Mokoto (alt. 2.000 m., 15-16.III.1934); Gitebe, volcan Nyamuragira (alt. 2.324 m., 14-26.VI.1935); Kanyabayongo, Kabasha (alt. 1.750 m., 7.XII.1934); Mushumangabo, volcan Nyamuragira (alt. 2.075 m., 14-26.VI.1935); 52 exemplaires : 49 ♂♂, 3 ♀♀.

41. — *Microgaster heterocera* sp. n.

(Fig. 105-106.)

♀ : noire; palpes rouge testacé sale; articles du flagellum I, II et moitié basale du III, roussâtre foncé chez certains spécimens, les I et IV partiellement blanchâtre sale chez d'autres, IV à VII ou V à VII entièrement blanchâtres; thorax généralement dépourvu de traces rougeâtres; extrême apex des hanches, trochanters, trochantelles et extrême base des fémurs des pattes III, bords latéraux membraneux des tergites I, II et en grande partie le III, rouge testacé; sinon comme *M. homocera*, excepté les ailes, plus fortement et irrégulièrement enfumées et les tegulae noires.

♂ : semblable à la ♀, mais les antennes unicolores.

♂ ♀ : face un peu plus fortement et plus régulièrement ponctuée que chez *M. homocera*; vertex et occiput, polis, brillants; espace oculo-ocellaire égal à la distance qui sépare les ocelles postérieurs; antennes plus grêles (fig. 105-106).

Thorax : mésonotum et disque du scutellum à ponctuation plus forte (degré 4), bien marquée, les pointillés plus rapprochés que leur propre diamètre, apex du disque du scutellum rugueux; sillon préscutellaire plus large, nettement divisé par des carènes plus fortes; mésopleures plus largement ponctués antérieurement et légèrement près du bord coxal; propodeum rugueux, à ponctuation peu apparente, carène longitudinale médiane droite, forte, lisse et non crénelée.

Ailes : même nervation que *M. cincticornis* et *M. homocera*, la 2^e abcisse de la radiale, cependant, un peu plus écartée vers l'apex de l'aile et la partie apicale de la 1^{re} abcisse de la cubitale plus courte, environ de la longueur de la récurrente.

Pattes III : hanches rugueuses en dessus, à ponctuation à peine plus espacée sur la face externe. Proportions : hanches, 23/35; fémurs, 12/48;

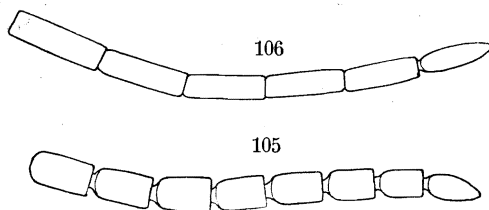


FIG. 105-106. — *Microgaster heterocera* sp. n.

FIG. 105. — Sommet de l'antenne de la ♀. FIG. 106. — Sommet de l'antenne du ♂.

tibias, 10/55; tarsi : I, 30; II, 11; III, 8; IV, 6; V, 7; le plus long éperon des tibias la moitié et le plus court un peu plus du tiers de la longueur des métatarses; renflement externe des fémurs un peu moins accusé.

Abdomen : tergites I et II de mêmes proportions et sculpture que *M. homocera*, les sillons basilaires du II plus divergents, plus droits et atteignant presque les bords latéraux, parties latérales, de part et d'autre de l'aire médiane, plus distinctement ruguleuses, la largeur apicale de ce tergite 1,53 fois plus grande que sa longueur médiane et 2 fois la largeur apicale du I (20 : 13 : 10); hypopygium et valves de la tarière comme chez *M. cincticornis*.

Longueur : 3 mm.

DISTRIBUTION GÉOGRAPHIQUE : Rutshuru (alt. 1.285 m., 29-31.V.1935, 1-6, 7 et 6-8.VI.1935, 2 et 4.VII.1935), holotype ♀, allotype ♂ et paratypes; Rutshuru, riv. Fuku (alt. 1.250 m., 2, 5 et 6.VII.1935); Rutshuru, riv. Musugereza (alt. 1.100 m., 9.VII.1935); Ruhengeri, riv. Penge, Ruanda (alt. 1.825 m., 29.IX.1934); Sake, lac Kivu (alt. 1.460 m., 19-22.II.1934); Nyongera, près de Rutshuru (alt. 1.218 m., 17.VII.1935); Kashwa, entre Ngesho et Bishakishaki (alt. 2.000 m., 7-23.I.1935); 40 exemplaires : 34 ♂♂, 6 ♀♀.

Plus 1 exemplaire ♀ du lac Magera (alt. 2.000 m., 1.III.1934), qui ne peut être rapporté qu'avec doute à cette espèce, spécimen endommagé dont la tête a été recollée et ne lui appartient probablement pas.

AFFINITÉS : Cette espèce est très affine de *M. cincticornis* et *M. homocera*, elle s'en distingue surtout par la coloration des tegulae et des fémurs des pattes III, ainsi que par l'aspect du tergite II.

Quelques mâles ont une affinité certaine avec les espèces de ce sous-groupe et notamment avec *cincticornis*, *homocera* et *heterocera*, mais présentent une combinaison différente de caractères, ils ne peuvent être rattachés à aucune d'entre elles.

α) Mésonotum à aspect satiné, ponctuation petite (degré 2 à 3, comme *M. cincticornis*), tegulae noires, extrême base des fémurs III rouge testacé; sillons basilaires du tergite II très divergents et aire médiane peu apparente, comme *M. heterocera*. Rutshuru, riv. Rutshuru (alt. 1.000 m., 3.VII.1935); 1 exemplaire.

β) Mésonotum et disque du scutellum à ponctuation forte (degré 4) et aires transcutales rougeâtres (comme *M. homocera*); tegulae jaune testacé; base des fémurs III rouge testacé; tergite II comme *M. heterocera*. Rweru, volcan Mikeno, forêt de Bambous (alt. 2.400 m., 26-27.VII.1934); 1 exemplaire.

γ) Mésonotum et disque du scutellum à ponctuation dense, d'aspect rugueux comme *M. heterocera*; aires transcutales rougeâtres; tegulae et quart basal des fémurs, rouge testacé; sculpture du tergite II assez semblable à celle de *M. cincticornis*. Sake, lac Kivu (alt. 1.560 m., 19-22.II.1934); 2 exemplaires.

δ) Ponctuation du mésonotum assez semblable à celle de *M. homocera*; tegulae sombres, hanches III noires en dessus, rouge testacé ou rougeâtres en dessous; fémurs III rougeâtres, un peu plus clairs à la base; tergite I plus large que chez les espèces citées ci-dessus, sa longueur médiane 2 fois ses largeurs basale et apicale et 1/3 plus longue que la plus grande largeur (20 : 10 : 10 : 15), les bords latéraux fortement arrondis vers l'apex; tergite II comme *M. heterocera*, sa largeur apicale 2,2 fois sa longueur médiane, celle-ci égale à la largeur apicale du I. Rutshuru (alt. 1.285 m., 7.VI.1935, 2-4.VII.1935); Rutshuru, riv. Fuku (alt. 1.250 m., 6.VII.1935); Rutshuru, riv. Musugereza (alt. 1.100 m., 8.VII.1935); Rwindi (alt. 1.000 m., 20-24.XI.1934); May ya Moto (alt. 950 m., 6-9.XI.1934); 20 exemplaires.

Sous-groupe spécifique STENOTERGA.

Premier tergite abdominal remarquablement étroit, très rétréci à l'apex, sa longueur médiane supérieure à 3 fois sa largeur apicale; 2^e tergite d'aspect variable; ponctuation du mésonotum de force et densité ordinairement moyennes; pattes longues et grêles; fémurs postérieurs présentant parfois une dépression plus ou moins accusée sur la face externe.

Les proportions du 1^{er} tergite rapprochent, les espèces appartenant à ce sous-groupe, de certaines formes paléarctiques.

Les deux séries différentes figurant dans les récoltes de la mission DE WITTE appartenant chacune à un sexe différent, il est difficile de caractériser d'une façon plus précise les particularités de cet intéressant sous-groupe.

42. — *Microgaster stenoterga* sp. n.

(Fig. 107-111.)

♀ : noire; pièces buccales, tegulae, propectus, pattes I et II entièrement, hanches (excepté la face supérieure depuis le 1/4 basal jusque près de l'apex), trochanters, trochantelles, fémurs (sauf l'apex) et éperons des tibias des pattes III, moitié basale du tergite I (excepté les bords latéraux sur une certaine étendue), parties latérales membraneuses des tergites I, II et la moitié antérieure de celles du III, sternites de la base et hypopygium, rouge testacé; faiblement le clypéus antérieurement, mandibules et tibias III, noir brunâtre; scapes légèrement rougeâtres; ailes faiblement enfumées entièrement et régulièrement; nervures et stigma bruns.

♀. *Tête* : face satinée, à très petite ponctuation assez dense, divisée par une carène longitudinale médiane assez proéminente; clypéus différencié de la face; palpes courts, palpes maxillaires distinctement plus courts que les fémurs I; ostioles faciales un peu plus près de l'apex du clypéus que des yeux; vertex et occiput moins distinctement ponctués que la face, vertex assez long; stemmaticum lisse et brillant; espace oculo-ocellaire beaucoup plus grand que la distance qui sépare les ocelles postérieurs; antennes un plus longues que le corps, 1^{er} article du flagellum environ 3 fois plus long que large, les deux pénultièmes articles près de 2 fois (fig. 107).

Thorax : mésonotum brillant, à ponctuation (degré 2 à 3) assez dense, mieux marquée antérieurement et latéralement, devenant imperceptible à la base; sillon préscutellaire droit, mince et faiblement crénelé; disque du scutellum brillant, à faible convexité, plus long que large à la base, à apex aigu, portant une petite ponctuation superficielle plus forte que celle de la base du mésonotum mais plus espacée; partie antérieure des axillae, crénelée sur les bords, lisse discalement; mésopleures lisses et brillants, légèrement ponctués dans l'angle huméral et près du bord coxal, cochléar bien marqué, avec une fossette médiane; métapleures lisses et brillants; propodeum brillant, portant quelques pointillés très superficiels vers le tiers basal et divisé par une carène longitudinale médiane très courtement et faiblement crénelée, lisse ailleurs.

Ailes (fig. 108) : 1^{re} abcisse de la radiale et 1^{re} transverso-cubitale d'égale longueur, plus courtes que la largeur du stigma et environ 1/4 plus longues que la récurrente; partie apicale punctiforme de la 1^{re} abcisse de la cubitale distinctement plus courte que cette dernière; 2^e transverso-cubitale plus longue que la 2^e abcisse de la radiale; stigma plus court que le métacarpe.

Pattes III (fig. 109) : hanches brillantes, portant quelques pointillés mal marqués à la base en dessus, lisses sur la face externe; fémurs très légèrement ponctués. Proportions : hanches, 18/35; fémurs, 12/46; tibias, 8/50;

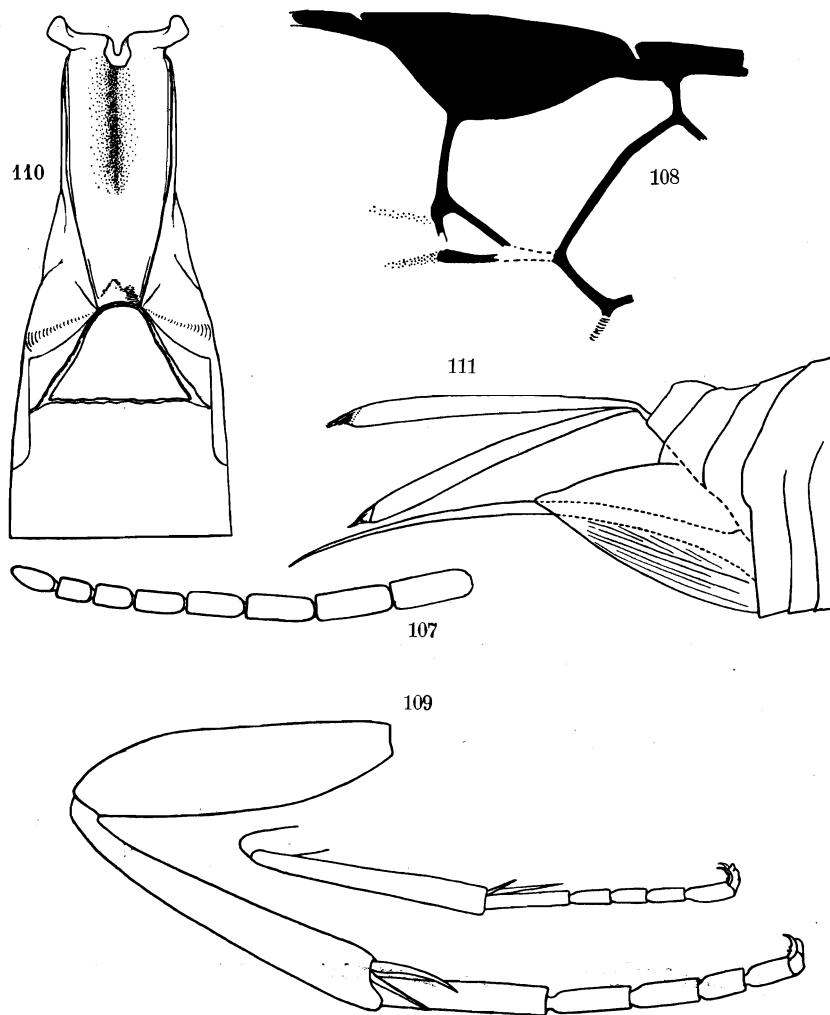


FIG. 107-111. — *Microgaster stenoterga* sp. n. ♀.

FIG. 107. — Sommet de l'antenne.

FIG. 108. — Détail de la nervation des ailes antérieures.

FIG. 109. — Pattes intermédiaire et postérieure.

FIG. 110. — Détail des trois premiers tergites abdominaux.

FIG. 111. — Apex de l'abdomen.

tarses : I, 25; II, 12; III, 9; IV, 7; V, 8; le plus long éperon des tibias près de la moitié et le plus court moins du tiers de la longueur des métatarses.

Abdomen (fig. 110) : abdomen un peu plus long que le thorax; tergite I extraordinairement long et étroit, sa longueur médiane 6 fois sa largeur apicale et 2,66 fois sa largeur basale (24 : 4 : 9), recourbé vers le tiers apical et ses bords latéraux parallèles dans la moitié basale, ensuite convergents

en ligne droite vers l'apex échancré, à tégument brillant, aciculé latéralement et marqué d'un ~~large~~ sillon médian lisse dans la moitié basale, vaguement rugueux dans la moitié apicale avec une très légère protubérance apicale; tergite II brillant, marqué de deux sillons divergents bien marqués, l'aire entre les sillons légèrement convexe, lisse discalement, vaguement sculptée ailleurs, la coloration noire dépassant latéralement les sillons et limitée en arc de cercle antérieurement; longueur médiane du tergite II 2 fois la largeur apicale du I, un peu moins de 1,5 fois sa propre largeur apicale entre les sillons (8 : 4 : 13); 2^e suture droite et bien marquée; tergite III 1,5 fois plus long que le II, brillant, satiné et portant comme les suivants l'habituelle petite ponctuation; hypopygium largement membraneux, à apex aigu; valves de la tarière un peu plus longues que les tibias III, environ aussi longues que l'abdomen depuis l'apex du tergite I (fig. 111).

Longueur : 2,8 mm.; ♂, inconnu.

DISTRIBUTION GÉOGRAPHIQUE : Gitebe, volcan Nyamuragira (alt. 2.324 m., 14-26.VI.1935), holotype ♀ et 1 paratype; 2 exemplaires.

43. — *Microgaster psilocnema* sp. n.

(Fig. 112-115.)

♂ : noir; palpes, hanches I, II et extrême apex des hanches III en dessous, jaune-rouge testacé; pédicelles, tegulae, pattes I et II ailleurs (tarses I et II et tibias II, plus sombres, presque brun rougeâtre), trochanters, trochantelles, environ moitié basale des fémurs et éperons des tibias des pattes III, rouge testacé; mandibules, moitié apicale des fémurs et tibias III, rouge brunâtre; sternites de la base, rougeâtres, parties latérales membraneuses des tergites I, II et III rouge sombre; scapes, flagellum et tarses III, brun noirâtre; aires transcutales et parfois légèrement la protubérance humérale, rougies; ailes hyalines à faiblement enfumées entièrement et régulièrement; nervures et stigma brun clair, costale et 2^e abeisse de la médiane jusqu'au nervulus, plus sombres.

♂. *Tête* : face satinée, petitement et étroitement ponctuée, presque lisse près des yeux, portant une carène longitudinale médiane lisse et brillante, faiblement proéminente, limitée à peine à la moitié supérieure; clypéus différencié de la face; ostioles faciales distinctement plus près de l'apex du clypéus que des yeux; palpes maxillaires aussi longs que les fémurs I; vertex et occiput imperceptiblement ponctués; tempes ponctuées à peu près comme la face; vertex assez large; stemmaticum lisse; espace oculo-ocellaire plus grand que la distance séparant les ocelles postérieurs; antennes beaucoup plus longues que le corps, articles du flagellum subgaux y compris les apicaux, à peine amincis à l'extrémité de l'antenne (fig. 112).

Thorax : col plus allongé que d'habitude; mésonotum densément ponctué (degré 3) notamment le long des lignes des notaules; sillon préscutellaire

droit, faiblement crénelé; disque du scutellum avec une ponctuation plus dense et plus profonde que sur le mésonotum, lui donnant ainsi un aspect rugueux surtout à l'apex, sa longueur médiane un peu plus grande que sa

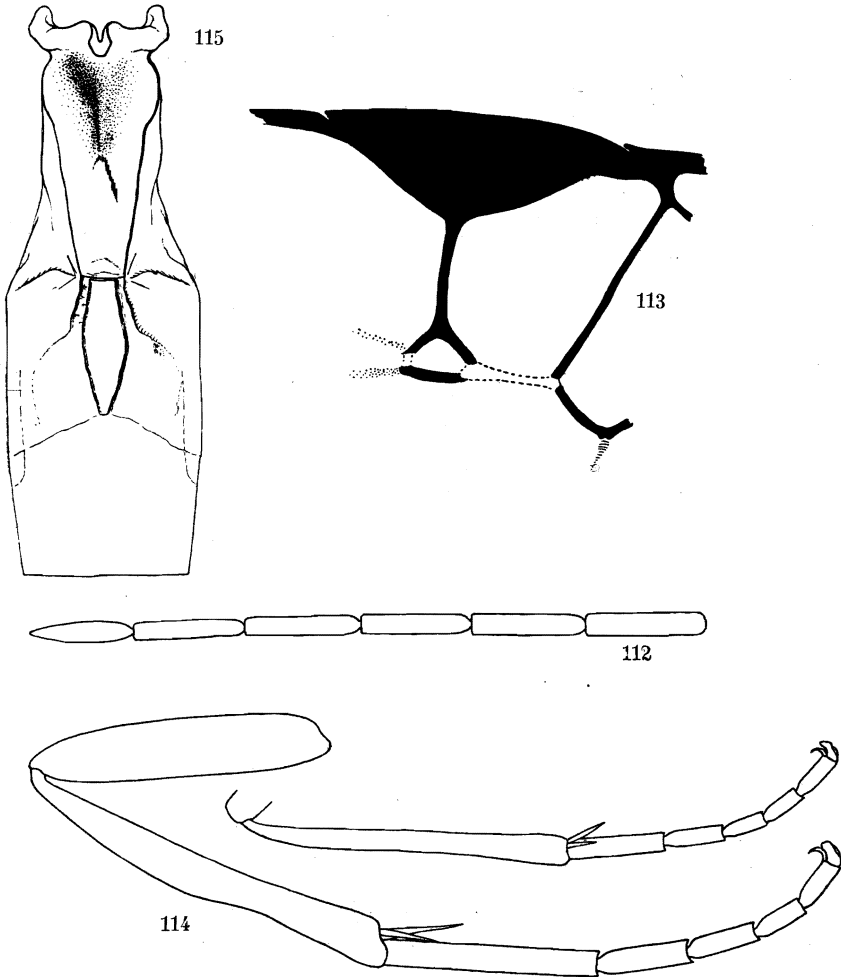


FIG. 112-115. — *Microgaster psilocnema* sp. n. ♂.

FIG. 112. — Sommet de l'antenne.

FIG. 113. — Détail de la nervation des ailes antérieures.

FIG. 114. — Pattes intermédiaire et postérieure.

FIG. 115. — Détail des trois premiers tergites abdominaux.

largeur basale; apex aigu et marqué d'une dépression préapicale; partie antérieure des axillae un peu ruguleuse; métathorax plus long que de coutume, portant au milieu une aire triangulaire rugueuse marquée d'une fossette lisse et brillante, l'apex de cette aire plus relevé que celui du disque

du scutellum; mésopleures fortement ponctués antérieurement, moins fortement postérieurement, à disque lisse et brillant, cochléar peu déprimé, marqué d'une fossette; métapleures lisses antérieurement, rugoso-ponctués à l'arrière; propodeum assez mat, grossièrement ruguleux à rugueux avec des carènes secondaires latéralement dans la moitié apicale, dont une entoure les stigmates, ailleurs portant quelques pointillés dispersés, carène longitudinale médiane droite, non crénelée.

Ailes (fig. 113) : 1^{re} abcisse de la radiale égale à la largeur du stigma, plus de deux fois plus longue que la 1^{re} transverso-cubitale qui est nettement plus courte que la partie apicale de la 1^{re} abcisse de la cubitale, elle-même un peu plus longue que la récurrente; 2^e transverso-cubitale plus courte que la 2^e abcisse de la radiale; stigma plus court que le métacarpe.

Pattes : tous les tibias particulièrement grêles et allongés; tibias III fortement déprimés dans la moitié apicale sur la face supérieure (fig. 114); hanches III rugueuses sur la face supérieure, moins fortement sur la face externe; fémurs III petitement et régulièrement ponctués.

Proportions des pattes III : hanches, 18/40; fémurs, 10/50; tibias, 7/68; tarsés : I, 35; II, 14; III, 11; IV, 8; V, 8; éperon interne des tibias II aussi long que les métatarses correspondants; le plus long éperon des tibias III le 1/3 et le plus court environ le 1/4 de la longueur des métatarses III.

Abdomen (fig. 115) : tergite I un peu mat, rugueux dans la moitié basale où il est excavé et marqué d'un sillon médian, finement rugueux et à petite ponctuation sétigère dans la moitié apicale, étroitement proéminent au milieu dans cette partie, sa longueur médiane environ 4,5 fois sa largeur apicale et le double de sa plus grande largeur située près de la base (20 : 4, 5 : 10), ses bords latéraux s'évasent dans le quart basal et convergent ensuite en ligne droite jusqu'à l'apex tronqué; tergite II, 2,66 fois plus long que la largeur apicale du I et un peu plus court que la longueur médiane du III (12 : 4, 5 : 14), portant une aire longitudinale médiane fusiforme généralement mal marquée apicalement, tiers basal de cette aire bordé de chaque côté par un sillon dont le bord externe diverge ensuite largement et disparaît, la partie ainsi délimitée est satinée ainsi que l'aire médiane et porte quelques pointillés sétigères vers l'apex, tégument lisse ailleurs; tergites III et suivants pourvus de l'habituelle petite ponctuation.

Longueur : 3 mm.; ♀, inconnue.

DISTRIBUTION GÉOGRAPHIQUE : vers Rweru, volcan Mikeno, forêt de Bambous (alt. 2.400 m., 3.VII.1934), holotype ♂ et 1 paratype; vers Rweru, volcan Mikeno, forêt de Bambous (alt. 2.400 m., 26-27.VII.1934); 7 exemplaires.

Aberrations :

a) parties latérales membraneuses des tergites basilaires, jaune testacé très pâle, une bande de même coloration à l'apex du tergite III et les fémurs entièrement noirs.

DISTRIBUTION GÉOGRAPHIQUE : Gitebe, volcan Nyamuragira (alt. 2.324 m., 14-26.VI.1935); volcan Visoke (alt. 2.800-3.300 m., 13-14.II.1935); 2 exemplaires ♂♂.

b) tergite I entièrement rougeâtre, fémurs III noirs excepté à l'extrême base.

DISTRIBUTION GÉOGRAPHIQUE : lac Magera (alt. 2.000 m., 27-28.II.1934); 1 exemplaire ♂.

AFFINITÉS : Par les proportions du 1^{er} tergite abdominal, cette espèce présente une étroite parenté avec *M. stenoterga* et au premier abord on pourrait prendre ces exemplaires pour les ♂♂ de cette espèce. Un examen détaillé permet, cependant, de trouver de nombreux caractères divergents. Le dimorphisme sexuel chez les *Microgasterinae* ne montre jamais d'écart aussi grands, je crois donc pouvoir considérer ces séries comme appartenant à des espèces distinctes.

[**Microgaster eurygaster** (CAMERON).]

Apanteles eurygaster CAMERON, Ann. Transv. Mus., II, 1911, p. 207, ♂.

Microgaster eurygaster (CAMERON), WILKINSON, Trans. Ent. Soc. Lond., LXXVII, 1929, p. 113.

DISTRIBUTION GÉOGRAPHIQUE : Prétoria (Afrique du Sud). *Hôte et cocon*, inconnus.

Genre **APANTELES** FOERSTER.

- Apanteles* FOERSTER, Verh. naturh. Ver. preuss. Rheinl., XIX, 1862, p. 245.
Apanteles REINHARD, Deutsche Entom. Zeitschr., XXIX, 1880, p. 361.
Apanteles MARSHALL, Trans. Entom. Soc. Lond., 1885, p. 155.
Apanteles MARSHALL, Spec. Hymen. Eur. Alg., IV, 1888, p. 401.
Cotesia CAMERON, Mem. Manc. Phil. Soc., IV, 1891, p. 185.
Microgaster (Apanteles) THOMSON, Opusc. Entom., 1895, p. 2252.
Protapanteles ASHMEAD, Proc. Entom. Soc. Wash., IV, 1897, p. 166.
Urogaster ASHMEAD, Proc. Entom. Soc. Wash., IV, 1897, p. 166.
Pseudapanteles ASHMEAD, Proc. Entom. Soc. Wash., IV, 1897, p. 166.
Parapanteles ASHMEAD, Proc. U. S. Nat. Mus., XXIII, 1900, p. 131.
Glyptapanteles ASHMEAD, Proc. U. S. Nat. Mus., XXVIII, 1904, p. 147.
Apanteles SZÉPLIGETI, Genera Insectorum, f. 24, 1904, p. 105.
Cryptapanteles VIERECK, Proc. Entom. Soc. Wash., XI, 1909, p. 209.
Xestapanteles CAMERON, Zeitschr. f. Naturw., LXXXI, 1909, p. 447.
Apanteles (Dolichogenidea) VIERECK, Proc. U. S. Nat. Mus., XL, 1911, p. 173.
Stenopleura VIERECK, Proc. U. S. Nat. Mus., XL, 1911, p. 187.
Allapanteles BRETHERS, An. Mus. Nac. Buenos Aires, XXVII, 1915, p. 404.
Apanteles LYLE, Entomologist, XLIX, 1917, p. 123.
Apanteles MUESEBECK, Proc. U. S. Nat. Mus., LVIII, 1920, p. 485.

Apanteles WILKINSON, Bull. Ent. Res., XIX, 1928, p. 79.

Apanteles WILKINSON, Trans. Ent. Soc. Lond., LXXX, 1932, p. 301.

Apanteles WATANABE, Insect. Mats., VII, 1932, p. 75, VIII, 1934, p. 132.

Apanteles FAHRINGER, Opusc. Bracon. Bd IV, Pal. reg., III, 1935, p. 37.

Tête habituellement transverse, exceptionnellement rostriforme; occiput rebordé; antennes de 18 articles; yeux poilus; notaulices absents, leur emplacement souvent marqué par une sculpture plus forte ou une légère dépression; sternaules rarement indiqués, généralement remplacés par une dépression cochléariforme; propodeum lisse ou caréné, à carénation variable; nervation des ailes incomplète, aux antérieures, la radiale réduite à sa 1^{re} abscisse, 2^e cellule cubitale ouverte distalement, limitée du côté proximal par la 1^{re} nervure transverso-cubitale et un tronçon, généralement court, de la 2^e abscisse de la cubitale, 2^e nervure transverso-cubitale toujours absente, récurrente antéfurcale, nervulus postfurcal, 1^{re} cellule brachiale ouverte; hanches postérieures de taille variable, dépassant parfois la moitié de la longueur de l'abdomen; éperons des tibias de longueur variable, le plus long habituellement égal à la moitié de la longueur des métatarses; abdomen sessile, variant de large et déprimé, à très long et fortement comprimé; les deux tergites de la base de forme et de sculpture très variables, le 3^e rarement sculpté; valves de la tarière variables, à peine exsertes à plus longues que l'abdomen.

Génotype : *Microgaster obscura* NEES.

Comme les *Microplitis* et les *Microgaster*, les *Apanteles* sont des parasites endophages, solitaires ou sociaux, de chenilles de Lépidoptères, mais les *Apanteles* dépassent de beaucoup ces deux genres par leur importance numérique et leur extrême dispersion. Il semble, que parmi les Lépidoptères, il n'y ait pas de famille qui échappe à leurs attaques. Les quelques observations faites à ce jour, dans la province éthiopienne, y relèvent le parasitisme et les *Apanteles* parmi 30 familles différentes, et, entre elles les Noctuides et les Pyraustides principalement. Quelques auteurs signalent avoir obtenu des *Apanteles* de larves de Diptères, de Coléoptères et d'Hyménoptères, cela semble, cependant, une exception.

Dans certains cas, on a pu observer l'éclosion d'un nombre très élevé d'*Apanteles* issus d'une seule chenille (938, *Ap. australiensis* ASHMEAD; 393, *Ap. aethiopicus* WILKINSON). Ce sont là, très probablement, des cas de polyembryonie. Très souvent les sociétés sont constituées seulement d'un petit nombre d'individus (10-15), mais fréquemment des cas de 100 à 200 ont été observés.

Les cocons d'*Apanteles* sont blancs, crèmes, jaune soufre, roses, rougeâtres, etc., de consistance parcheminée, jamais cannelés ou ridés. Leur disposition chez les espèces grégaires présente une très grande diversité. Souvent amassés suivant une disposition déterminée, entourés ou non d'une masse ou bourre cotonneuse, d'une enveloppe commune ou d'une résille ou simplement reliés entre eux par quelques soies. Presque chaque espèce se caractérise par

la façon dont ses individus édifient leurs cocons et ceux-ci peuvent souvent constituer une indication précieuse pour la détermination.

Le genre *Apanteles*, cosmopolite, est abondamment représenté dans les diverses faunes pour lesquelles de nombreuses espèces furent déjà décrites. Beaucoup d'entre elles sont communes, leur vulgarité ainsi que leur biologie n'ont pas manqué d'attirer l'attention sur ces intéressants Braconides et la littérature offre déjà une abondante documentation à leur sujet.

Septante-neuf formes étaient connues de la faune éthiopienne; l'étude de la collection sous revue a permis de séparer 83 formes nouvelles, ce qui porte le chiffre des espèces éthiopiennes connues à 163. Ce chiffre est considérable si l'on considère que l'étude de la faune d'Afrique est de date récente et que pour la faune paléarctique, FAHRINGER (1937) renseigne 180 espèces, MUESEBECK (1921) pour la faune néarctique 164 et WILKINSON (1928) pour la faune indo-australienne, 82.

Les formes citées ou décrites dans le présent travail sont loin d'épuiser le matériel de cette collection; nombreuses, en effet, sont celles qu'il ne m'a pas été possible de séparer pour les motifs suivants : 1° le manque de matériel de comparaison que les événements ne me permettent pas de consulter; 2° l'enchevêtrement des caractères dans plusieurs groupes; 3° la présence de nombreuses formes représentées par un unique spécimen mal caractérisé ou incomplet.

Le nombre d'exemplaires figurant dans la collection est de 3.100; 57 espèces et 26 aberrations ou sous-espèces nouvelles sont décrites et 19 espèces connues furent déterminées, ce qui porte le nombre total des formes qu'il m'a été permis de séparer à 102.

Ces *Apanteles* furent récoltés dans plus de 80 stations différentes et rares sont ceux paraissant présenter une localisation déterminée. A l'encontre des *Microgaster*, le nombre de spécimens récoltés à une altitude supérieure à 2.400 m. ne sont pas rares, plusieurs furent capturés sur les volcans Visoke et Gahinga à plus de 3.000 m. d'altitude.

Pour ce genre également, rares sont les formes représentées par un grand nombre d'individus; 57 sont représentées par moins de 10 exemplaires, 38 par 10 à 50 et 7 formes seulement par plus de 50 (v. tableau p. 17).

CLEF DES ESPÈCES CONGOLAISES (1).

- Deuxième tergite abdominal non sculpté, presque toujours pourvu de deux sillons discaux divergents, ordinairement droits; propodeum non caréné ou portant tout au plus une carène longitudinale médiane ou des carènes transverso-basales et parfois les deux, mais ne présentant jamais d'aréole ou une apparence d'aréole; 1^{er} tergite habituellement

(1) Pour la clef des autres espèces éthiopiennes, voir WILKINSON, *Trans. Ent. Soc. Lond.*, LXXX, 1932, pp. 327-343.

- long, rétréci à l'apex, soit que ses bords latéraux convergent depuis la base, soit qu'ils convergent seulement à partir du milieu, ou parallèles pour ne converger que près de l'apex; valves de la tarière habituellement très courtes, dépassant rarement la longueur des métatarses postérieurs et insérées à la base des plaques oblongues... Groupe A. 3
- Deuxième tergite presque toujours aciculé, ponctué, rugueux ou autrement sculpté, souvent aussi long que le 3^e, orné de sillons discaux parallèles ou convergents, ou de sillons le délimitant sur ses bords latéraux; propodeum fréquemment orné d'une carène longitudinale médiane, parfois de carènes transverso-basales ou de l'une et l'autre, mais ne présentant jamais une aréole ou une apparence d'aréole; 1^{er} tergite carré ou rectangulaire, aussi large ou plus large au sommet qu'à la base; valves de la tarière invariablement courtes et insérées à la base des plaques oblongues Groupe F. 34
 - Premier tergite variable; deuxième tergite fortement transverse et beaucoup plus court que le 3^e, délimité par des sillons latéraux ou, comme dans le groupe A, orné de sillons discaux divergents, mais dans ce cas, il est toutefois habituellement plus court que le 3^e; propodeum aréolé ou portant une carène longitudinale médiane ou sans carénation, l'aréole peut être seulement esquissée à l'apex ou absente; jamais de costules; valves de la tarière généralement longues et insérées au sommet des plaques oblongues Groupe U. 49
 - Premier tergite variable; deuxième tergite comme dans le groupe U; propodeum toujours aréolé, aréole complète ou tout au moins très nettement présente apicalement; costules toujours présentes; valves de la tarière généralement longues et insérées au sommet des plaques oblongues Groupe S. 59
 - Thorax comprimé dorso-ventralement, plus large entre les tegulae que son épaisseur; mésonotum, disque du scutellum, métathorax et au moins la partie antérieure du propodeum virtuellement sur un plan; face souvent proéminente et fortement transverse; antennes des femelles souvent courtes et fortes; valves de la tarière variables, ordinairement courtes Groupe G. 99
 - Espèces ne se rapportant à aucun des groupes ci-dessus, présentant une conformation anormale de l'une ou l'autre partie ou présentant une combinaison inhabituelle des caractères y repris Groupe M. 1

Groupe M.

1. Premier tergite abdominal beaucoup plus étroit au milieu qu'aux extrémités; longueur médiane du 2^e tergite plus grande que la largeur apicale du 1^{er}; carènes du propodeum, si elles sont présentes, ne se croisant jamais pour former une croix sur le disque 2

- Premier tergite abdominal plus large à la base qu'au sommet, non rétréci au milieu; longueur médiane du 2° tergite égale à la largeur apicale du 1^{er}; propodeum portant une carène longitudinale médiane coupée à angle droit par une carène transversale et formant ainsi une croix sur le disque 44. *Ap. insolens* WILKINSON, ♂ ♀ (p. 151).
2. Premier tergite rugueux ou ruguleux dans la partie apicale, sans sillon médian; hanches postérieures lisses et brillantes; 2° tergite sculpté de chaque côté d'une aire médiane
I ⁽¹⁾, *Ap. pistrinariae* WILKINSON, ♂ ♀ (p. 152).
- A. Tergites apicaux rouge testacé; récurrente égale à la 1^{re} abcisse de la radiale, qui est ordinairement plus courte que la transverso-cubitale, sans tronçon de la 2° abcisse à leur point de jonction *Ap. pistrinariae* s. str., ♂ ♀.
- Tous les tergites noirs; récurrente plus courte que la 1^{re} abcisse de la radiale qui est égale ou plus longue que la transverso-cubitale, généralement avec un tronçon de la 2° abcisse à leur point de jonction
45. *Ap. pistrinariae nyasaensis* WILKINSON, ♂ ♀.
- Premier tergite lisse entièrement, marqué sur presque toute sa longueur par un sillon longitudinal médian; hanches postérieures rugueuses; 2° tergite lisse sauf ses sillons 46. *Ap. henricopus* sp. n., ♂ ♀ (p. 152).

Groupe A.

3. Propodeum orné d'une carène longitudinale médiane complète ou non 4
- Propodeum dépourvu de toute trace de carène longitudinale médiane 11
4. Sillons du 2° tergite courbés, latéraux; articles préapicaux des antennes aussi larges ou un peu plus larges que longs; stigma 2 fois plus long que large 47. *Ap. parvicornis* sp. n., ♀ (p. 155).
- Sillons du 2° tergite droits, discaux; articles préapicaux des antennes au moins 1,5 fois plus longs que larges; stigma plus de 2 fois plus long que large, ou espèce ne présentant pas la même combinaison de ces caractères 5
5. Sillons discaux du 2° tergite marqués seulement à la base et n'atteignant distinctement pas la 2° suture 6
- Sillons discaux du 2° tergite bien marqués sur presque toute la longueur du tergite, même s'ils n'atteignent pas tout à fait la 2° suture 7
6. Mésonotum à petite ponctuation (degré 1); 1^{re} abcisse de la radiale et transverso-cubitale formant un angle bien marqué; abdomen noir
II. *Ap. lefevrei* DE SAEGER, ♂ ♀ (p. 314).

(1) Les chiffres romains renvoient aux espèces congolaises ne figurant pas dans la collection DE WITTE.

- Mésonotum à ponctuation forte (degré 5); 1^{re} abcisse de la radiale et transverso-cubitale incurvées et sans point de jonction discernable; abdomen en grande partie rouge testacé
48. *Ap. anubis* sp. n., ♀ (p. 158).
7. Longueur médiane du 2^e tergite égale ou à peine plus courte que sa largeur apicale, sillons discaux faiblement divergents; mésonotum brillant; propectus noir 8
- Longueur médiane du 2^e tergite distinctement plus courte que sa largeur apicale; mésonotum satiné ou, s'il est brillant, à ponctuation forte ou de coloration rouge testacé; propectus testacé 9
8. Deuxième tergite longitudinalement strié (au moins sur les côtés); 1^{re} abcisse de la radiale et transverso-cubitale formant un angle marqué; parties latérales du 2^e tergite noires
49. *Ap. fuscinervis* CAMERON, ♂ ♀ ? (p. 160).
- Deuxième tergite lisse, sauf ses sillons; 1^{re} abcisse de la radiale et transverso-cubitale sans point de jonction discernable; parties latérales du 2^e tergite rouge testacé. 50. *Ap. eucosmae* WILKINSON, ♀ ♂ (p. 161).
9. Premier tergite 3 fois plus long que sa largeur apicale; disque du scutellum convexe; tegulae sombres à noires
51. *Ap. propylae* DE SAEGER, ♂ ♀ (p. 161).
- A. Mésonotum satiné, à ponctuation moyenne (degré 3) B.
— Mésonotum brillant, à ponctuation forte et bien marquée (au moins degré 4) a) *Ap. propylae punctulatus* ab. n., ♂ ♀.
- B. Premier tergite entièrement ou partiellement noir
Ap. propylae s. str., ♂ ♀.
- Premier tergite entièrement rouge testacé
a) *Ap. propylae rutshuruensis* ab. n., ♂ ♀.
- Premier tergite au moins 4 fois plus long que sa largeur apicale; disque du scutellum assez plat; tegulae testacées 10
10. Longueur médiane du 2^e tergite 1,75 fois plus courte que sa propre largeur apicale; thorax noir; 2^e suture légèrement arquée vers l'arrière ...
52. *Ap. horus* sp. n., ♂ ♀ (p. 163).
- Longueur médiane du 2^e tergite 2,25 fois plus courte que sa propre largeur apicale; thorax en grande partie ou entièrement rouge testacé; 2^e suture ordinairement droite. 53. *Ap. melanotus* sp. n., ♂ ♀ (p. 166).
- A. Mésonotum, disque du scutellum et moitié apicale du 1^{er} tergite noirs et satinés *Ap. melanotus* s. str., ♂ ♀.
- Mésonotum, disque du scutellum et moitié apicale du 1^{er} tergite rouge testacé comme le restant du thorax et brillants
a) *Ap. melanotus rubens* ab. n., ♂ ♀.

11. Sillons discaux du 2° tergite marqués seulement dans la moitié basale, n'atteignant pas la 2° suture 12
 — Sillons discaux du 2° tergite atteignant la 2° suture 19
12. Antennes de la ♀ fortes et plus courtes que le corps; articles du flagellum courts, tout au plus, ceux de la base, 1,5 fois plus longs que larges 14
13. Stigmates du propodeum normaux; apex des tibias et tarsi des pattes postérieures enfumés 54. *Ap. ugandaensis* GAHAN, ♂ ♀ (p. 168).
 — Stigmates du propodeum extraordinairement développés; pattes postérieures sans enfumure
Ap. congoensis DE SAEGER, ♂ ♀ (cf. groupe G) (p. 321).
14. Hanches postérieures noires 15
 — Hanches postérieures testacées 17
15. Fémurs postérieurs noirs à l'apex; 1^{er} tergite noir; 3° tergite un quart plus long que le 2° III. *Ap. kivuensis* DE SAEGER, ♂ ♀ (p. 314).
 — Fémurs postérieurs et 1^{er} tergite entièrement rouge testacé; 3° tergite au moins de moitié plus long que le 2° 16
16. Hypopygium fortement prolongé au delà de l'apex de l'abdomen; face virtuellement lisse; facette plane, en dessus à la base des hanches, à ponctuations moyennes et peu nombreuses
 55. *Ap. cuspidalis* sp. n., ♂ ♀ (p. 169).
 — Hypopygium dépassant à peine l'abdomen; face à petite ponctuation (degré 1) irrégulière; facette plane, en dessus à la base des hanches, à fortes ponctuations bien marquées
 56. *Ap. geometrivorus* DE SAEGER, ♂ ♀ (p. 171).
17. Mésonotum à ponctuation assez forte (degré 3); tegulae noires; propodeum portant une sculpture vague et superficielle
 57. *Ap. simulissimus* sp. n., ♀ (p. 171).
 — Mésonotum à ponctuation assez petite (degré 2); tegulae testacées ou brunâtres, jamais noires; propodeum entièrement lisse et poli 18
18. Hypopygium grand, aigu; valves de la tarière allongées et étroites; 2° tergite sombre IV. *Ap. gratiosus* WILKINSON, ♂ ♀ (p. 314).
 — Hypopygium ne pouvant être décrit ainsi, presque tronqué; valves de la tarière courtes et larges; 2° tergite pas sombre sauf chez le ♂
 V. *Ap. pallidocinctus* GAHAN, ♂ ♀ (p. 315).
19. Deuxième tergite lisse, excepté ses sillons 20
 — Deuxième tergite toujours, et habituellement fortement sculpté ... 27
20. Propodeum rugueux; disque du scutellum fortement ponctué; sillons discaux du 2° tergite subparallèles; 1^{er}, 2° et 3° tergites rouge testacé ...
 58. *Ap. agynus* sp. n., ♂ (p. 173).

- Propodeum pas rugueux; sillons discaux du 2° tergite divergents; tergites de la base jamais entièrement rouge testacé 21
21. Hanches antérieures et intermédiaires entièrement, ou en majeure partie, testacées 22
- Toutes les hanches noires ou très sombres 24
22. Propodeum pourvu de faibles carènes à l'apex, pouvant simuler parfois un début d'aréole; tegulae rouge testacé; aire médiane du 2° tergite petite 23
- Propodeum dépourvu de carènes à l'apex; tegulae noires; aire médiane du 2° tergite grande 59. *Ap. lissopleurus* sp. n., ♂ (p. 175).
23. Propodeum pourvu de carènes faibles simulant parfois un début d'aréole; largeur apicale du 2° tergite égale ou à peine plus longue que sa longueur médiane, celle-ci égale ou à peine plus longue que la longueur du 3° 60. *Ap. simus* sp. n., ♂ ♀ (p. 176).
- A. Stigma discalement diaphane B
- Stigma subopaque C
- B. Hanches postérieures basalement noires; stigma jaunâtre
Ap. simus s. str., ♂ ♀.
- Hanches postérieures basalement noires; stigma jaunâtre
a) *Ap. simus moko* ab. n., ♂ ♀.
- Hanches postérieures noires; stigma brunâtre
b) *Ap. mibale* ab. n., ♂ ♀.
- C. Hanches postérieures rouge testacé
c) *Ap. simus misatu* ab. n., ♀.
- Hanches postérieures basalement noires
d) *Ap. simus mine* ab. n., ♂.
- Hanches postérieures noires
e) *Ap. simus mitanu* ab. n., ♂ ♀.
- Propodeum pourvu de carènes faibles à l'apex, mais ne simulant pas un début d'aréole, largeur apicale du 2° tergite près de 2 fois la longueur médiane, celle-ci 1,5 fois plus courte que la longueur médiane du 3° ...
VI. *Ap. seydeli* DE SAEGER, ♂ ♀ (p. 315).
24. Mésonotum et disque du scutellum satinés 25
- Mésonotum et disque du scutellum brillants, s'ils sont un peu ternes, alors la ponctuation n'est pas petite 26
25. Fémurs postérieurs rouge testacé; le plus long éperon des tibias postérieurs égal aux 2/3 de la longueur des métatarses
61. *Ap. venustus* sp. n., ♂ ♀ (p. 180).

- Fémurs postérieurs noirs; le plus long éperon des tibias postérieurs égal à la moitié de la longueur des métatarses 62. *Ap. eutelus* DE SAEGER (p. 183).
- A. Ailes légèrement et entièrement enfumées, à nervures pigmentées sauf à la base de l'aile *Ap. eutelus* s. str., ♂ ♀.
- Ailes laiteuses à nervures incolores sauf celle sous le stigma ... a) *Ap. eutelus lacteipennis* ab. n., ♂.
26. Tibias postérieurs noirs à l'apex; mésonotum à petite ponctuation; longueur : 2 mm. 63. *Ap. gowdeyi* GAHAN, ♂ ♀ (p. 183).
- Tibias postérieurs testacés à la base et s'assombrissant progressivement jusqu'à l'apex; mésonotum à ponctuation moyenne (degré 3) à forte; longueur : 2,5 mm. 64. *Ap. pilosomae* DE SAEGER, ♂ ♀ (p. 183).
27. Hanches antérieures et intermédiaires testacées; 3^e tergite à petite ponctuation habituelle peu apparente 29
- Hanches antérieures et intermédiaires en grande partie sombres à noires; 3^e tergite à ponctuation particulièrement distincte 28
28. Sillons discaux du 2^e tergite courbés; longueur médiane du 2^e tergite 1,4 fois la largeur apicale du 1^{er} et égale à la longueur médiane du 3^e; propodeum brillant, presque lisse à la base, ponctué ensuite, rugoso-ponctué seulement vers l'apex; hanches postérieures dépourvues de facette plane en dessus à la base ... 65. *Ap. gahinga* sp. n., ♂ ♀ (p. 184).
- Sillons discaux du 2^e tergite droits; longueur médiane du 2^e tergite égale à la largeur apicale du 1^{er} ou à peine plus longue et 1,37 fois plus courte que la longueur du 3^e; propodeum mat, rugoso-ponctué 66. *Ap. melissus* sp. n., ♂ (p. 187).
29. Hanches postérieures très petitement ponctuées et brillantes, dépourvues de facette plane en dessus à la base; articles préapicaux des antennes trois fois plus longs que larges (♂) 67. *Ap. argus* sp. n., ♂ ♀ (p. 188).
- Hanches postérieures fortement ponctuées au rugoso-ponctuées en dessus, si la ponctuation est petite, alors la facette plane est toujours présente; articles préapicaux des antennes pas plus de 2,5 fois plus longs que larges (♂) 30
30. Mésonotum à ponctuation bien marquée, moyenne à forte (degré 3-4). 31
- Mésonotum à petite ponctuation (tout au plus degré 2) 32
31. Sillons discaux du 2^e tergite droits et divergents, assez confondus avec la sculpture; mésonotum à ponctuation (degré 4) un peu irrégulière; hypopygium tronqué à l'apex; fémurs postérieurs fortement enfumés dans le tiers apical 68. *Ap. amenophis* sp. n., ♂ ♀ (p. 189).
- Sillons discaux du 2^e tergite subparallèles sur les côtés, distincts; mésonotum à ponctuation (degré 3) régulière; hypopygium légèrement arrondi à l'apex; fémurs postérieurs légèrement enfumés seulement près de l'apex 69. *Ap. nkuli* DE SAEGER, ♂ ♀ (p. 192).

32. Hypopygium largement tronqué à angle droit; hanches postérieures brillantes, à petite ponctuation (degré 2) assez dense; 3^e tergite moins de 1,5 fois plus long que le 2^e 70. *Ap. ninus* sp. n., ♂ ♀ (p. 192).
- Hypopygium pas largement tronqué à angle droit; hanches postérieures à ponctuation assez forte à forte, 3^e tergite moins de 1,5 fois plus long que le 2^e 33
33. Propodeum brillant, à ponctuation espacée; longueur médiane du 2^e tergite 1,4 fois plus courte que sa largeur apicale; stigma brun, opaque.
71. *Ap. intricatus* sp. n., ♂ ♀ (p. 194).
- Propodeum mat, ponctué et finement rugueux; longueur médiane du 2^e tergite environ égale à sa largeur apicale; stigma jaunâtre, diaphane.
72. *Ap. cinyras* sp. n., ♂ ♀ (p. 198).

Groupe F.

34. Deuxième tergite orné d'une aire médiane de forme variable, délimitée par des sillons discaux plus ou moins forts, à tégument pas particulièrement chitinisé sous-groupe *mlanje* ⁽¹⁾. 35
- Deuxième tergite sans aire médiane délimitée par des sillons discaux, à tégument rugueux, fortement chitinisé et habituellement plus large que le 1^{er} sous-groupe *ruficrus*. 46

Sous-groupe MLANJE.

35. Aire médiane du 2^e tergite carrée ou rectangulaire, les sillons discaux, par suite, sont parallèles 36
- Aire médiane du 2^e tergite pas ainsi, si les sillons discaux paraissent parallèles, l'aire médiane n'est toutefois, ni carrée, ni rectangulaire. 38
36. Extrême apex du 1^{er} tergite plus étroit que la base; aire médiane du 2^e tergite longue et étroite; hanches antérieures et intermédiaires jaune-rouge testacé entièrement 73. *Ap. osiris* sp. n., ♂ ♀ (p. 200).
- Apex du 1^{er} tergite jamais plus étroit que la base; aire médiane du 2^e tergite pas particulièrement longue et étroite; hanches antérieures et intermédiaires jamais totalement testacées, ces dernières toujours noires. 37
37. Premier tergite pas plus large à l'apex qu'à la base; aire médiane du 2^e tergite pas beaucoup plus de deux fois plus longue que large; fémurs postérieurs rouge testacé. 74. *Ap. neavei* WILKINSON sp. n., ♂ ♀ (p. 203).

(1) Toutes les espèces de ce sous-groupe possèdent une carène longitudinale médiane sur le propodeum, complète ou partielle.

- Premier tergite plus large vers l'apex qu'à la base; aire médiane du 2^e tergite à peine plus longue que large; fémurs postérieurs en majeure partie sombres 75. *Ap. achaeus* sp. n., ♀ (p. 204).
38. Hanches postérieures lisses, au moins sur la face externe, ou, à petite ponctuation, jamais rugueuses ou ruguleuses 39
- Hanches postérieures ruguleuses à rugueuses 42
39. Disque du scutellum distinctement ponctué (degré 2-3); hanches postérieures ponctuées (degré 3); hypopygium très légèrement aigu, subtronqué [76. *Ap. mlanje* WILKINSON, ♂ ♀] (p. 206).
- A. Hanches antérieures et intermédiaires rouge testacé B.
- Toutes les hanches noires, excepté en dessous à l'apex
[*Ap. mlanje nigricoxis* WILKINSON, ♂ ♀.]
- B. Hanches et fémurs postérieurs entièrement ainsi que la costale, rouge testacé; 2/5 apicaux des tibias postérieurs assombris
Ap. mlanje s. str., ♂ ♀.
- Hanches, fémurs postérieurs et costale jamais totalement testacés; tibias postérieurs ou plus, ou moins assombris C.
- C. Base ou extrême base des hanches postérieures, noire; apex des fémurs et tibias postérieurs légèrement enfumés; moitié basale de la costale rouge testacé ... a) *Ap. mlanje mimus* ab. n., ♂ ♀.
- Hanches et tibias postérieurs plus largement noircis D.
- D. Quart ou tiers basal des hanches et moitié apicale des tibias des pattes postérieures, noirâtres; nervure costale sombre, à peine plus claire à la base b) *Ap. mlanje metus* ab. n., ♂ ♀.
- Hanches postérieures noires dans la moitié basale; tibias postérieurs dans les 2/3 ou 3/4 apicaux; costale entièrement sombre c) *Ap. mlanje nox* ab. n., ♂ ♀.
- Disque du scutellum et hanches postérieures au-dessus à la base, lisses ou à ponctuation très petite ou superficielle; hypopygium aigu ou prolongé 40
40. Aire médiane du 2^e tergite trapézoïdale; longueur médiane du 2^e tergite égale à celle du 3^e; hanches antérieures et intermédiaires en grande partie noires 77. *Ap. hiero* sp. n., ♂ ♀ (p. 208).
- Aire médiane du 2^e tergite pas trapézoïdale; longueur médiane du 2^e tergite plus courte que celle du 3^e; hanches antérieures et intermédiaires jaune-rouge testacé, rarement tachées de sombre à la base 41
41. Aire médiane du 2^e tergite en triangle isocèle (environ 2 fois plus longue que sa base); hypopygium court et aigu; hanches postérieures plus de 2 fois plus longues que larges; apex du 1^{er} tergite pourvu, tout au plus, de l'habituelle petite aire médiane 78. *Ap. neleus* sp. n., ♂ ♀ (p. 210).

- Aire médiane du 2^e tergite en triangle équilatéral, ou cordiforme; hypopygium prolongé, à apex faiblement arrondi et légèrement courbé; apex du 1^{er} tergite pourvu d'une grande aire lisse, brillante et un peu concave.
79. *Ap. bifissus* sp. n., ♀ (p. 212).
42. Stigma jaune à brun pâle, diaphane; hanches antérieures et intermédiaires testacées 43
- Stigma brun, opaque; hanches antérieures et intermédiaires en majeure partie ou entièrement noires 44
43. Aire médiane du 2^e tergite circulaire, lisse, brillante et polie
80. *Ap. circinus* sp. n., ♀ (p. 214).
- Aire médiane du 2^e tergite à peine plus étroite à l'apex qu'à la base, subrectangulaire, marquée d'une sculpture faible
81. *Ap. epaphus* sp. n., ♀ (p. 216).
44. Mésonotum et disque du scutellum mats, à ponctuation très étroitement placée (apparence rugueuse); fémurs postérieurs sombres; sillons discaux du 2^e tergite parallèles, l'aire médiane rétrécie à l'apex
VII. *Ap. ituriensis* DE SAEGER, ♀ (p. 316).
- Mésonotum et disque du scutellum brillants, à ponctuation pas très étroitement placée (apparence jamais rugueuse); fémurs postérieurs testacés ou rougeâtres; sillons discaux du 2^e tergite convergents vers l'apex. 45
45. Angles apicaux du 1^{er} tergite fortement arrondis; aire médiane du 2^e tergite environ aussi longue que sa largeur basale; ponctuation du mésonotum petite et assez dense (degré 2); 1^{er} tergite convexe, mais pas fortement proéminent 82. *Ap. tereus* sp. n., ♀ (p. 217).
- Angles apicaux du 1^{er} tergite pas fortement arrondis; aire médiane du 2^e tergite plus longue que sa largeur basale qui est environ double de sa largeur apicale; ponctuation du mésonotum moyenne (degré 3) et bien marquée, si elle est plus petite, alors les tegulae sont noires; 1^{er} tergite fortement proéminent au milieu. 83. *Ap. triptolemus* sp. n., ♂ ♀ (p. 218).
- A. Hanches antérieures en majeure partie testacées; tarses postérieurs plus sombres que les tibias; mésonotum à ponctuation (degré 3) bien marquée *Ap. triptolemus* s. str., ♂ ♀.
- Hanches antérieures en majeure partie noires; tibias et tarses postérieurs concolores; mésonotum à ponctuation (degré 2-3) assez vague a) *Ap. triptolemus pullus* ab. n., ♂ ♀.

Sous-groupe RUFICRUS.

46. Troisième tergite lisse sauf l'habituelle petite ponctuation 47
- Troisième tergite sculpté, tout au moins à la base 48
47. Hanches postérieures à forte ponctuation en dessus, mais pas rugueuses; 1^{er} abcisse de la radiale beaucoup plus longue que la transverso-cubitale;

- 2° tergite de même longueur que le 3°; hanches antérieures et intermédiaires noires 84. *Ap. elaeodes* sp. n., ♀ (p. 222).
- Hanches postérieures rugueuses; 1^{re} abcisse de la radiale jamais beaucoup plus longue que la transverso-cubitale; 2° tergite plus court que le 3°; hanches antérieures et intermédiaires testacées 85. *Ap. hyperion* sp. n., ♂ ♀ (p. 224).
48. Deuxième tergite transverse et plus court que le 3° ou à peine plus court (♂); articles préapicaux des antennes (♀) 2 fois plus longs que larges. 86. *Ap. nycteus* sp. n., ♂ ♀ (p. 227).
- Deuxième tergite subcarré et de même longueur que le 3°; articles préapicaux des antennes (♀) 1,5 fois plus longs que larges 87. *Ap. transutus* sp. n., ♂ ♀ (p. 230).

Groupe U.

49. Propodeum portant une carène longitudinale médiane et parfois une aréole esquissée à l'apex 50
- Propodeum portant une aréole complète ou seulement esquissée, si une carène longitudinale médiane est présente, elle est courte et limitée à la base (aréole pétiolée) 53
50. Sillons du 2° tergite faiblement divergents; 1^{er} tergite pas particulièrement élargi vers la base 51
- Sillons du 2° tergite fortement divergents; 1^{er} tergite notablement élargi à la base 52
51. Mésonotum à ponctuation petite; métapleures finement rugueux postérieurement; valves de la tarière très courtes (moitié des métatarses); tibias postérieurs enfumés distalement 88. *Ap. thespis* sp. n., ♂ ♀ (p. 233).
- Mésonotum à ponctuation forte; métapleures entièrement lisses; valves de la tarière longues (égales aux tarses postérieurs); tibias postérieurs bruns 89. *Ap. montanus* sp. n., ♂ ♀ (p. 236).
52. Premier tergite lisse, sauf une ponctuation rare, dans la moitié apicale; 3° tergite un tiers plus long que le 2°; toutes les hanches et fémurs postérieurs testacés VIII. *Ap. regalis* DE SAEGER, ♀ (p. 316).
- Premier tergite aciculé-ponctué dans les 2/3 apicaux; 3° tergite près de 3 fois plus long que le 2°; toutes les hanches et fémurs postérieurs noirs IX. *Ap. anthozelae* DE SAEGER, ♀ (p. 316).
53. Sillons du 2° tergite faiblement divergents; 2° tergite beaucoup plus long que la largeur apicale du 1^{er}; valves de la tarière plus courtes que les métatarses postérieurs; hanches antérieures et intermédiaires testacées, postérieures variables
Ap. simus sp. n. (cf. groupe A) (p. 176).

- Sillons du 2^e tergite fortement divergents; 2^e tergite beaucoup plus court que la largeur apicale du 1^{er}; valves de la tarière plus longues que les métatarses postérieurs; toutes les hanches noires 54
54. Aréole complète 55
- Aréole incomplète, bien indiquée seulement dans la moitié apicale ... 56
55. Mésonotum très mat, à ponctuation faible et dense, notablement plus rugueuse le long des lignes des notaulices; fémurs postérieurs noirs; valves de la tarière de la longueur des tibias postérieurs; stigma (♀) discalement hyalin (♂?) 90. *Ap. uroxys* DE SAEGER, ♀ (p. 238).
- Mésonotum peu brillant, à ponctuation moyenne, dense, mais bien distincte, plus profonde le long des lignes des notaulices; fémurs postérieurs testacés; valves de la tarière de la longueur des tarses postérieurs; stigma (♀) opaque (♂?) 91. *Ap. burunganus* sp. n., ♀ (p. 239).
56. Mésonotum satiné ou brillant, à ponctuation pas étroitement placée et à pilosité courte et plus ou moins dressée, pas particulièrement disposée en éventail; propodeum brillant; stigma opaque (♀) 57
- Mésonotum mat, à ponctuation très étroitement placée (apparence finement rugueuse) et à pilosité moyenne à longue, apprimée et disposée en éventail apicalement; stigma discalement hyalin (♂ ♀) 58
57. Propodeum marqué d'une excavation médiane à la base; 1^{er} tergite vaguement rugoso-punctué dans la moitié apicale; valves de la tarière environ égales aux tarses postérieurs; costale testacée; stigma discalement hyalin (♂) ou opaque (♀) ... X. *Ap. sagax* WILKINSON, ♂ ♀ (p. 316).
- Propodeum dépourvu d'excavation médiane à la base; 1^{er} tergite à peu près entièrement lisse; valves de la tarière plus courtes que les fémurs postérieurs; costale brune; stigma opaque (♀), (♂?) XI. *Ap. bordagei* GIARD, ♀ (p. 316).
58. Propodeum ruguleux apicalement de chaque côté de l'aréole; ocelles postérieurs distinctement plus près l'un de l'autre que des yeux; antennes effilées distalement; costale testacée seulement à la base; longueur : 2 à 2,5 mm. ... 92. *Ap. pyrodercetus* DE SAEGER, ♂ ♀ (p. 241).
- Propodeum lisse apicalement de chaque côté de l'aréole; ocelles postérieurs à peu près équidistants entre eux et les yeux; antennes pas effilées distalement; costale testacée entièrement; longueur : 2,7 à 3,0 mm. 93. *Ap. ghesquierei* DE SAEGER, ♂ ♀ (p. 242).
- A. Pattes postérieures noires *Ap. ghesquierei* s. str., ♂ ♀.
- Pattes postérieures testacées, saur, hanches, fémurs, une enfumure apicale aux tibias et des taches sur les tarses a) *Ap. ghesquierei rufipes* ab. n., ♀.

Groupe S.

59. Mésonotum rugueux et habituellement strié le long des lignes des notaulices à l'apex; disque du scutellum lisse ou faiblement ponctué; aréole du propodeum en forme de V à l'apex, jamais tronquée, fermée à la base ou non par une carène transverso-basale, mais jamais par ses propres carènes basales qui se continuent toujours parallèlement jusqu'à la base du propodeum de chaque côté d'une aire généralement déprimée ou excavée; 1^{re} abcisse de la radiale toujours distinctement plus longue que la transverso-cubitale; hanches postérieures plus ou moins fortement rugueuses, parfois striées; 2^e tergite fortement chitinisé, à sculpture forte, rugueuse, parfois striée, ses sillons latéraux jamais très fortement divergents et ordinairement droits ... Sous-groupe *coxalis*, 95
- Espèces ne présentant pas la même combinaison de caractères ou possédant des caractères différents 60
60. Deuxième tergite abdominal dépourvu de sculpture en dehors de ses sillons latéraux et, parfois, de petites punctuations, s'il présente une sculpture, celle-ci est très superficielle, composée de stries faibles, d'une petite aciculation ou granulation lui conférant une certaine matité; 2^e suture fine ou obsolète 61
- Deuxième tergite sculpté, à sculpture bien caractérisée; 2^e suture ordinairement bien marquée (parfois faiblement sculpté chez le ♂, mais dans ce cas, la 2^e suture est droite) 81
61. Deuxième tergite lisse et brillant; aréole du propodeum habituellement tronquée à l'apex ou parfois légèrement arrondie 62
- Deuxième tergite terne à mat, jamais très brillant, ou très petitement sculpté près de l'apex; aréole du propodeum habituellement en forme de V à l'apex, parfois légèrement arrondie 76
62. Premier tergite lisse apicalement portant tout au plus quelques punctuations ou une faible sculpture, jamais rugueux ou à tendance rugueuse 63
- Premier tergite apicalement à sculpture forte, rugueuse ou autre ... 70
63. Fémurs postérieurs noirs entièrement 66
- Fémurs postérieurs testacés entièrement ou marqués de traînées sombres, dans ce cas, les fémurs intermédiaires marqués de même ... 64
64. Premier tergite vaguement et superficiellement sculpté dans la moitié apicale et non proéminent médialement; punctuation de la base du propodeum vague et peu perceptible; tibias postérieurs enfumés dans les 3/4 apicaux; longueur : 2,25 mm. (♂) 67

XII. *Ap. hapaliae* DE SAEGER, ♂ (p. 317).

- Premier tergite petitement sculpté ou ponctué près des bords ou dans les tiers latéraux et portant une petite protubérance médiane; ponctuation de la base du propodeum distincte; tibias postérieurs noirs; longueur : 2,5 mm. (♂) à 3,2 mm. (♀) 65
65. Ponctuation du mésonotum forte, franchement serrée, mais nettement séparée et régulière; stigma opaque marqué d'une éclaircie dans l'angle proximal; abdomen en majeure partie rouge testacé
XIII. *Ap. coffea* WILKINSON, ♂ ♀ (p. 317).
- Ponctuation du mésonotum forte, pas franchement serrée, bien séparée et irrégulière; stigma hyalin (♀), (♂?); abdomen en majeure partie noir 94. *Ap. nitidus* sp. n., ♀ (p. 243).
66. Premier tergite fortement rétréci à l'apex; longueur médiane du 2^e tergite beaucoup plus longue que la largeur apicale du 1^{er}; aréole du propodeum courtement pétiolée, pentagonale et fermée à angle aigu à la base XIV. *Ap. pentagonius* DE SAEGER, ♂ ♀ (p. 317).
- Premier tergite pas fortement rétréci à l'apex; longueur médiane du 2^e tergite égale ou plus courte que la largeur apicale du 1^{er}; aréole du propodeum pas pétiolée, si elle est fermée, en tous cas, pas à angle aigu 67
67. Premier tergite marqué dans la moitié apicale de quelques pointillés, parfois accompagnés d'une faible sculpture donnant au tégument un aspect rude, mais pas rugueux; valves de la tarière égales ou plus courtes que les fémurs postérieurs; stigma des femelles opaque, marqué, tout au plus, d'une éclaircie dans l'angle proximal 68
- Premier tergite sans ponctuation, faiblement et vaguement sculpté dans les tiers latéraux; valves de la tarière environ égales aux tarsi postérieurs; stigma (♂ et ♀) discalement hyalin
XV. *Ap. earterus* WILKINSON, ♂ ♀ (p. 317).
68. Ponctuation du mésonotum moyenne et finement rugueuse; valves de la tarière à peine plus courtes que les fémurs postérieurs et larges; tegulae testacées ou noires 95. *Ap. valvatus* sp. n. (p. 246).
- A. Aréole du propodeum fermée et pétiolée à la base; tegulae testacées *Ap. valvatus* s. str., ♀.
- Aréole du propodeum ouverte à la base; tegulae noires
Ap. valvatus rwindicus s.sp. n., ♀.
- Ponctuation du mésonotum forte, si elle est rugueuse, alors plutôt grossièrement; valves de la tarière plus courtes que les fémurs postérieurs; tegulae noires 69
69. Costules placées à la moitié du propodeum; fémurs postérieurs entièrement noirs; 1/2 ou 3/5 apicaux des tibias postérieurs sombres; costale plus ou moins testacée ... 96. *Ap. aethiopicus* WILKINSON, ♂ ♀ (p. 250).

- Costules placées vers le tiers basal du propodeum; fémurs postérieurs brun rougeâtre sauf à l'apex; tibias postérieurs très légèrement enfumés vers l'apex; costale sombre ... XVI. *Ap. maynéi* DE SAEGER, ♂ ♀ (p. 318).
70. Premier tergite 2,5 fois plus long que sa largeur apicale, celle-ci égale ou à peine plus longue que la longueur médiane du 2^e tergite, sillons latéraux de ce dernier, faiblement divergents; tegulae testacées
97. *Ap. bellatulus* sp. n. (p. 250).
- A. Propodeum grossièrement ruguleux, à costules placées vers le milieu; disque du scutellum nettement ponctué sur les bords latéraux *Ap. bellatulus* s. str., ♂ ♀.
- Propodeum à peu près lisse, à costules placées vers le tiers apical; disque du scutellum entièrement lisse
a) *Ap. bellatulus simulator* ab. n., ♂.
- Premier tergite moins de 1,5 fois plus long que sa largeur apicale, celle-ci beaucoup plus longue que la longueur médiane du 2^e tergite, sillons latéraux de ce dernier fortement divergents; tegulae noires 71
71. Deuxième tergite entièrement lisse; mésonotum brillant; valves de la tarière plus courtes que la moitié de la longueur du corps
98. *Ap. wittei* sp. n. (p. 254).
- A. Stigma discalement hyalin; hanches postérieures sans facette plane en dessus à la base, ni forte ponctuation
Ap. wittei s. str., ♂ ♀.
- Stigma opaque, marqué d'une éclaircie dans l'angle proximal; hanches postérieures à facette plane ponctuée B.
- B. Fémurs postérieurs rouge testacé, tout au plus avec une trace sombre sur la face supérieure
a) *Ap. wittei kamatembe* ab. n., ♀.
- Fémurs postérieurs sombres entièrement C
- C. Aréole du propodeum à apex tronqué, fermée à la base et pétiolée b) *Ap. wittei anthracomerus* ab. n., ♀.
- Aréole du propodeum arrondie à l'apex, ouverte à la base
c) *Ap. wittei sake* ab. n., ♂ ♀.
- Deuxième tergite orné de quelques fines stries transversales arquées; mésonotum un peu terne; valves de la tarière égales à la moitié de la longueur du corps 99. *Ap. bitalensis* sp. n., ♀ (p. 261).
72. Stigma marqué d'une éclaircie distincte dans l'angle proximal, tout au moins chez la ♀ 73
- Stigma entièrement opaque, marqué parfois d'une faible éclaircie dans l'angle proximal chez le ♂ 74

73. Premier tergite environ 2 fois plus long que sa largeur médiane, à bords latéraux parallèles; fémurs postérieurs testacés (♀)
XVII. *Ap. diparopsidis* LYLE, ♂ ♀ (p. 318).
- Premier tergite distinctement moins de 2 fois plus long que sa largeur médiane, à peine plus long que sa largeur apicale, à bords latéraux divergents; fémurs postérieurs noirs
100. *Ap. gandoensis* sp. n., ♀ (p. 261).
74. Valves de la tarière plus longues que les métatarses postérieurs; hanches postérieures ruguleuses; palpes pâles
XVIII. *Ap. syleptae* FERRIÈRE, ♂ ♀ (p. 319).
- Valves de la tarière plus courtes que les métatarses postérieurs; hanches postérieures petitement ponctuées, pas ruguleuses; au moins les deux articles de la base des palpes maxillaires bruns 75
75. Point de jonction de la 1^{re} abcisse de la radiale et de la transversocubitale à peine ou pas discernable; aréole fermée à la base et courtement pétiolée; seuls les deux articles de la base des palpes maxillaires bruns XIX. *Ap. epiplemicidus* DE SAEGER, ♂ ♀ (p. 319).
- Point de jonction de la 1^{re} abcisse de la radiale et de la transversocubitale bien marqué; aréole ouverte à la base; les deux articles basilaire et l'article apical des palpes maxillaires, bruns
XX. *Ap. maculipalpis* DE SAEGER, ♀ (p. 319).
76. Hanches antérieures et intermédiaires testacées 80
- Hanches antérieures et intermédiaires noires 77
77. Premier tergite fortement rétréci à l'apex, à angles apicaux aigus; valves de la tarière à peine plus courtes que les tarse postérieurs; fémurs postérieurs en majeure partie testacés
101. *Ap. vivax* sp. n., ♂ ♀.
- Premier tergite pas fortement rétréci à l'apex, à angles apicaux arrondis; valves de la tarière égales ou plus courtes que les tibias postérieurs; fémurs postérieurs en majeure partie noirs 78
78. Longueur médiane du 2^e tergite un peu plus de la moitié de sa propre largeur apicale (10 : 18); aire médiane excavée dans la moitié apicale du 1^{er} tergite, forte et très brillante; disque du scutellum presque entièrement lisse; costale sombre; longueur : 3 à 3,8 mm.
102. *Ap. latus* sp. n., ♂ ♀ (p. 265).
- Longueur médiane du 2^e tergite moins de la moitié de sa propre largeur apicale; aire médiane excavée dans la moitié apicale du 1^{er} tergite, assez faible et pas particulièrement brillante; disque du scutellum distinctement ponctué; costale testacée 79

79. Premier tergite plus étroit à l'apex qu'à la base; tégument de l'aréole ruguleux; costules placées vers le milieu du propodeum; ocelles postérieurs plus près l'un de l'autre que des yeux; tegulae testacées 103. *Ap. schoutedeni* sp. n., ♂ ♀ (p. 268).
- Premier tergite pas plus étroit à l'apex qu'à la base; tégument de l'aréole lisse et très brillant; ocelles postérieurs équidistants entre eux et les yeux; tegulae noires XXI. *Ap. bredoi* sp. n., ♂ ♀ (p. 319).
80. Premier tergite pas plus large à l'apex qu'à la base; transverso-cubitale plus courte que la moitié de la 1^{re} abcisse de la radiale, ces nervures incurvées faiblement et ne formant pas d'angle accusé à leur point de jonction; tegulae testacées 104. *Ap. gitebe* sp. n., ♀ (p. 268).
- Premier tergite un peu plus large à l'apex qu'à la base; transverso-cubitale plus de la moitié de la longueur de la 1^{re} abcisse de la radiale et distinctement à angle avec celle-ci; tegulae noires 105. *Ap. luteocinctus* DE SAEGER, ♀ (p. 270).
- A. Hanches postérieures ponctuées, sans aciculation en dessus. B
— Hanches postérieures ponctuées-aciculées en dessus C
- B. Tibias et tarses des pattes intermédiaires entièrement et tiers basal des fémurs postérieurs, rouge testacé
Ap. luteocinctus s. str., ♀.
- Apex des tibias et tarses des pattes intermédiaires, fémurs postérieurs, excepté en dessus à l'apex, rouge testacé
a) *Ap. luteocinctus kirii* ab. n., ♀.
- C. Hanches postérieures courtes (20/30); fémurs postérieurs noirs dans la moitié apicale et sur la face supérieure
b) *Ap. luteocinctus kabasha* ab. n., ♀.
- Hanches postérieures longues (22/38); fémurs postérieurs entièrement noirs excepté l'extrême base
c) *Ap. luteocinctus rutshuru* ab. n., ♀.
81. Disque du scutellum fortement rugoso-ponctué, à peu près aussi fortement que le mésonotum 82
- Disque du scutellum pas rugoso-ponctué ou tout au moins beaucoup moins fortement que le mésonotum 83
82. Aréole du propodeum fermée à la base et pétiolée; angles apicaux du 1^{er} tergite arrondis; hypopygium non membraneux; valves de la tarière un peu plus longues que les métatarses postérieurs 106. *Ap. sarpedon* sp. n., ♂ ♀ (p. 274).
- Aréole du propodeum pas distinctement fermée à la base et non pétiolée; angles apicaux du 1^{er} tergite pas arrondis; hypopygium largement membraneux à la face inférieure; valves de la tarière de la longueur des tibias postérieurs ou à peine plus courtes 107. *Ap. alastor* sp. n., ♂ ♀ (p. 275).

- A. Pattes antérieures et intermédiaires en majeure partie noires; tibias postérieurs tout au plus testacés près de la base
Ap. alastor s. str., ♂ ♀.
- Pattes antérieures et intermédiaires en majeure partie testacées; moitié basale des tibias postérieurs testacée
 a) *Ap. alastor nyongera* ab. n., ♀.
83. Mésonotum très brillant, dépourvu de rugosités ou de stries, à ponctuation ordinairement forte, bien séparée, parfois superficielle 84
- Mésonotum plus ou moins mat, rugueux au moins le long des lignes des notaulices 90
84. Premier tergite considérablement élargi à l'apex, sa largeur apicale plus grande que sa longueur médiane; aréole petite, arrondie à l'apex, aiguë à la base et pétiolée ou, ouverte et ne paraissant pas pétiolée; costules placées au tiers apical du propodeum; 2° suture très fortement marquée, crénelée 108. *Ap. megagaster* sp. n., ♂ ♀ (p. 278).
- Premier tergite pas considérablement élargi à l'apex, sa largeur apicale jamais plus grande que sa longueur médiane; aréole ne pouvant être décrite ainsi et costules placées ailleurs; 2° suture jamais très fortement marquée ni crénelée 85
85. Deuxième suture fortement arquée 86
- Deuxième suture droite, tout au plus faiblement arquée 88
86. Deuxième tergite striolé plus ou moins concentriquement; 1^{er} tergite plus de 1,5 fois plus long que sa largeur apicale, à peine ou pas plus large à l'apex qu'à la base; scapes, tegulae et hanches entièrement ou en majeure partie, noirs 109. *Ap. longistylus* sp. n., ♂ ♀ (p. 281).
- A. Hanches entièrement noires; pattes en majeure partie sombres; ponctuation du mésonotum forte (degré 4)
Ap. longistylus s. str., ♂ ♀.
- Toutes les hanches à l'apex et majeure partie des pattes, testacées; ponctuation du mésonotum moyenne (degré 3)
 a) *Ap. longistylus kashwa* ab. n., ♀.
- Deuxième tergite rugueux, pas striolé; 1^{er} tergite moins de 1,5 fois plus long que sa largeur apicale, plus large à l'apex qu'à la base; scapes, tegulae, hanches antérieures et intermédiaires testacées 87
87. Valves de la tarière un peu plus longues que les tarse postérieurs; hanches postérieures longues (21/35); longueur médiane du 3^e tergite distinctement plus longue que celle du 2^e; sillons latéraux du 2^e tergite, parallèles 110. *Ap. fallax* sp. n., ♂ ♀ (p. 285).
- Valves de la tarière beaucoup plus longues que les tarse postérieurs; hanches postérieures moyennes (18/24); longueur médiane du 3^e tergite plus courte que celle du 2^e; sillons latéraux du 2^e tergite divergents
 111. *Ap. cyclorhaphus* sp. n., ♀ (p. 287).

88. Aréole du propodeum faiblement marquée à la base, aiguë et pétiolée, généralement divisée par une carène transversale formant une petite aire carrée à l'apex; 2^e tergite aciculé, fortement transverse chez la ♀, moins fortement chez le ♂, mais chez celui-ci l'apex du 1^{er} tergite est rétréci; hanches postérieures sans facette plane en dessus à la base, ne portant, tout au moins, aucune ponctuation forte à cette place; tegulae noires 112. *Ap. pelops* sp. n., ♂ ♀ (p. 288).
- A. Hanches antérieures et intermédiaires testacées; stigma brun pâle à jaunâtre *Ap. pelops* s. str., ♂ ♀.
- Hanches antérieures et intermédiaires noires (sauf l'apex); stigma brun a) *Ap. pelops nigricoxis* sp. n., ♂ ♀.
- Aréole du propodeum conformée d'une façon différente; 2^e tergite rugueux; hanches postérieures pourvues d'une facette plane en dessus à la base, cette facette ponctuée; tegulae testacées 89
89. Première abscisse de la radiale plus longue que la transverso-cubitale; costules partant ordinairement de l'apex de l'aréole; sillons du 2^e tergite légèrement divergents; 3^e tergite portant de nombreux pointillés sétigères; longueur : 2,5 à 3 mm. 113. *Ap. xanthopholis* sp. n., ♂ ♀ (p. 292).
- Première abscisse de la radiale égale ou plus courte que la transverso-cubitale; costules partant de l'extrémité basale des carènes apicales de l'aréole; sillons du 2^e tergite parallèles; 3^e tergite ne portant que quelques rares pointillés sétigères près de l'apex; longueur : 2,2 mm. 114. *Ap. furax* sp. n., ♂ ♀ (p. 295).
90. Hanches postérieures à petite ponctuation, jamais rugueuses 91
- Hanches postérieures rugoso-ponctuées ou petitement rugueuses, tout au moins à la face supérieure 92
91. Hanches postérieures dépourvues de facette plane en dessus à la base (♀); hypopygium non membraneux à la partie inférieure, à prolongement apical membraneux et aigu; valves de la tarière de la longueur des tibias III; nervures brun pâle 115. *Ap. arundinariae* sp. n., ♂ ♀ (p. 298).
- Hanches postérieures portant une facette plane ponctuée et bien marquée en dessus à la base; hypopygium membraneux à la partie inférieure; valves de la tarière de la longueur des tarsi postérieurs; nervures incolores sauf sous le stigma 116. *Ap. sylvaticus* sp. n., ♂ ♀ (p. 301).
92. Flagellum bicolore (testacé à la base), (♀), (♂ ?); longueur médiane du 1^{er} tergite 2 fois sa largeur apicale; longueur médiane du 2^e tergite près de la moitié de la largeur apicale du 1^{er}; hanches postérieures en majeure partie testacées 117. *Ap. conspicabilis* sp. n., ♀ (p. 302).

- Flagellum unicolore, noir ou brun sombre; longueur médiane du 1^{er} tergite moins de 1,5 fois sa largeur apicale; longueur médiane du 2^e tergite environ le tiers de la largeur apicale du 1^{er}; hanches postérieures en majeure partie noires 93
93. Toutes les hanches, fémurs et tibias postérieurs noirs; lignes des notaulices finement rugueuses; partie apicale de la 1^{re} abcisse de la cubitale un peu plus longue que la transverso-cubitale
 XXII. *Ap. eurytergis* DE SAEGER, ♀ (p. 320).
- Hanches antérieures et intermédiaires (celles-ci généralement brunâtres), fémurs et tibias postérieurs, testacés; lignes des notaulices ponctuées-striées; partie apicale de la 1^{re} abcisse de la cubitale un peu plus courte que la transverso-cubitale 94
94. Valves de la tarière un peu plus courtes que les tarses postérieurs; 3^e tergite près de trois fois plus long que le 2^e; longueur : 2,5 mm.
 XXIII. *Ap. carpatus* (SAY), ♀ (p. 320).
- Valves de la tarière plus longues que les tarses postérieurs; 3^e tergite moins de 2 fois plus long que le 2^e; longueur : 3,3 mm.
 XXIV. *Ap. fuscicornis* (CAMERON), ♀ (p. 320).

Sous-groupe COXALIS.

95. Hanches antérieures et intermédiaires en grande partie noires; tegulae noires 96
- Hanches antérieures et intermédiaires testacées tout au moins les antérieures (♀), parfois sombres (♂); tegulae testacées 97
96. Longueur médiane du 3^e tergite deux fois (♂) à 2,7 fois (♀) plus longue que celle du 2^e; propodeum, basalement aux costules, terne et vaguement rugueux; costale testacée; longueur : 2,5 à 3 mm.
 118. *Ap. langerburgensis* SZÉPLIGETI, ♂ ♀ (p. 305).
- Longueur médiane du 3^e tergite moins de deux fois plus longue que celle du 2^e; propodeum, basalement aux costules, brillant et rugueux; costale brune; longueur : 3,2 à 3,5 mm.
 119. *Ap. fontinalis* sp. n., ♂ ♀ (p. 305).
97. Longueur médiane du 2^e tergite deux fois plus courte que la largeur apicale du 1^{er}; 1^{er} et 2^e tergites à sculpture formée de fines carènes longitudinales ruguleuses évidentes; valves de la tarière plus courtes que les fémurs postérieurs mais moins longues que les métatarses correspondants XXV. *Ap. coxalis* SZÉPLIGETI, ♀ (p. 320).
- Longueur médiane du 2^e tergite tout au plus 1,5 fois plus courte que la largeur apicale du 1^{er}; 1^{er} et 2^e tergites rugueux, à stries longitudinales, si elles sont présentes, peu évidentes; valves de la tarière égales à la longueur des fémurs postérieurs 98
98. Longueur médiane du 2^e tergite 1,5 fois plus courte que sa largeur

- apicale et à peine plus courte que celle du 3^e; fémurs et tibias postérieurs des ♀ ♀ noirs seulement à l'apex ... 120. *Ap. cato* sp. n., ♂ ♀ (p. 308).
- Longueur médiane du 2^e tergite 2 fois plus courte que sa largeur apicale et 1/4 plus courte que celle du 3^e; fémurs et tibias postérieurs noirs dans la 1/2 ou les 3/4 apicaux 121. *Ap. subaltus* sp. n. (p. 312).
- A. Hanches intermédiaires et moitié basale des fémurs postérieurs (♀); hanches intermédiaires et extrême base des fémurs postérieurs (♂); testacées *Ap. subaltus* s. str., ♂ ♀.
- Apex des hanches intermédiaires et tout au plus le 1/4 basal des fémurs postérieurs seulement, testacés (♀) (♂?)
a) *Ap. subaltus nigrifemur* ab. n., ♀.

Groupe G.

99. Stigmates du propodeum normaux; thorax fortement comprimé dorso-ventralement; transverso-cubitale plus longue que la 1^{re} abcisse de la radiale; propodeum ruguleux à rugueux, portant une carène longitudinale médiane généralement forte à la base
XXVI. *Ap. sesamiae* CAMERON, ♂ ♀ (p. 321).
- Stigmates du propodeum anormalement développés; thorax faiblement comprimé dorso-ventralement; transverso-cubitale plus courte que la 1^{re} abcisse de la radiale; propodeum discalement lisse, sauf quelques petits pointillés, et dépourvu de carène longitudinale médiane
XXVII. *Ap. congoensis* DE SAEGER, ♂ ♀ (p. 321).

Groupe M.

Espèces ne se rapportant à aucun des groupes A. F. U. S. G., présentant une conformation anormale de l'une ou l'autre partie ou présentant une combinaison inhabituelle des caractères y repris.

44. — *Apanteles insolens* WILKINSON.

Apanteles insolens WILKINSON, Bull. Ent. Res., XXI, 1930, p. 276, ♂ ♀.

DISTRIBUTION GÉOGRAPHIQUE : Afrique du Sud : Mossel Bay; coll. DE WITTE : Ruhengeri, sources de la riv. Kirii, Ruanda (alt. 1.800-1.825 m., 31.VIII.1934); 1 exemplaire ♂.

Hôte et cocon, inconnus.

Le spécimen de la collection DE WITTE est absolument conforme à la description des proportions et de la sculpture de cette espèce, notamment la carénation très particulière du propodeum, mais en diffère quelque peu par la coloration qui est la suivante :

♂ : noir; pièces buccales, palpes, scapes partiellement, tegulae, pattes I

et II entièrement, extrême apex des hanches des pattes III et celles-ci ailleurs, sauf l'apex des tibias et les tarses qui sont légèrement plus sombres, base de la costale, rouge testacé; antennes noir brunâtre; éperons des tibias, pâles; ailes hyalines; nervation faiblement colorée; stigma brun pâle, diaphane.

Longueur : 2,0 mm.

La coloration rougeâtre du thorax, signalée chez *Ap. insolens*, est ici tout à fait inexistante et les ailes sont distinctement hyalines, la taille est également plus petite. N'en possédant qu'un seul spécimen, il est difficile de juger s'il s'agit d'une espèce différente, il est très possible que cet exemplaire n'appartienne qu'à une race géographique.

45. — **Apanteles pistrinariae nyasaensis** WILKINSON.

Apanteles pistrinariae nyasaensis WILKINSON, Bull. Ent. Res., XX, 1929, p. 445, ♂ ♀, s. sp.

DISTRIBUTION GÉOGRAPHIQUE : Nyasaland; coll. DE WITTE : Bitale, lac Bulero, Ruanda (alt. 1.862 m., 10-11.IX.1934); 1 exemplaire ♀.

Hôte : inconnu.

Cocons : chamois très pâle, disposés côte à côte, toutes les extrémités apparentes. Espèce grégaire.

46. — **Apanteles henicopus** sp. n.

(Fig. 116-119.)

♀ : noire; pièces buccales, palpes, bord antérieur du clypéus, scapes en partie, propectus, pattes I et II (excepté tibias et tarses II qui sont parfois plus sombres), hanches (sauf 1/3 apical jusque près de l'apex), trochanters, trochantelles et fémurs (ces derniers excepté à l'apex), éperons des tibias des pattes III, tegulae, 1^{er} et 2^e segments abdominaux (ce dernier noir au milieu), les 4 ou 5 sternites de la base, jaune à jaune-rouge testacé; tibias et base des métatarses des pattes III, rouge testacé (excepté la base et l'apex des tibias, les métatarses ailleurs et les autres articles des tarses qui sont brun rougeâtre); propleures, angle huméral des mésopleures, scutellum et métanotum présentant une tendance au rougeâtre; ailes très faiblement enfumées entièrement et régulièrement; nervures brunes, stigma brun sombre, opaque.

♂ : noir; pièces buccales, palpes, clypéus, thorax (sauf propleures, scutellum, métanotum et propodeum), pattes I et II (excepté l'apex des tibias et surtout les tarses, qui sont foncés), hanches (sauf le 1/3 apical jusque près de l'apex), trochanters, trochantelles et tibias (ce dernier excepté le 1/3 apical) des pattes III, 1^{er} segment abdominal entièrement, 2^e segment sauf la partie médiane entièrement ou partiellement, 4 ou 5 sternites basales, rouge testacé; anneau dans la moitié basale des tibias III, rouge testacé foncé; éperons des tibias III brunâtres; face, scapes partiellement,

propleures, scutellum, métonotum et propodeum ayant une forte tendance au rougeâtre, c'est-à-dire que cette coloration est plus ou moins accentuée et tend à dominer la coloration noire; nervures aussi sombres que le stigma; mésonotum et tegulae toujours franchement noirs.

♂ ♀. *Tête* : face plus haute que large, brillante, fortement ponctuée, presque réticulée, excepté une étroite bande orbitale (chez le ♂, la réticulation est plus apparente et forme des stries transversales), proéminente médialement, portant une carène longitudinale médiane ayant son origine entre les torules et s'atténuant pour disparaître vers la moitié inférieure de la face; clypéus non différencié de la face; ostioles faciales petites, un peu plus près de l'apex du clypéus que des yeux; vertex et occiput moins densément ponctués que la face, ponctuation accompagnée d'une petite impression intervallaire assez confuse, donnant au tégument un aspect un peu rugueux; espace oculo-ocellaire distinctement plus grand que la distance séparant les ocelles postérieurs; antennes normales.

Thorax : mésonotum faiblement brillant, à forte ponctuation dense (degré 5), alvéolariforme le long des lignes des notaulices, accompagnée d'une petite impression intervallaire, punctiforme sur les lobes latéraux, aciculiforme sur le lobe médian, rappelant l'impression intervallaire présentée par certains *Microgaster*; lignes des notaulices légèrement déprimées (chez le ♂ la ponctuation s'achève en stries, à la base du mésonotum); sillon présutellaire large, faiblement arqué et irrégulièrement crénelé, précédé d'une bande transversale inclinée, lisse et brillante; disque du scutellum convexe, un peu plus court que sa largeur basale, à ponctuation alvéolariforme plus forte que sur le mésonotum, fortement excavé et bordé à l'apex (ponctuation moins accusée chez le ♂); axillae faiblement crénelées le long du disque du scutellum, plus fortement sur le bord externe; mésopleures lisses et brillants discalement, fortement ponctués dans l'angle huméral et petitement aciculés, plus ou moins réticulés dans le cochléar, celui-ci est fortement déprimé au centre pour former un sillon faiblement crénelé, un étroit sillon transversal, plus ou moins crénelé, relie le cochléar à la suture méso-métapleurale; métapleurales lisses antérieurement, ponctués-réticulés postérieurement et à sillon médian fortement crénelé : propodeum divisé par une carène longitudinale médiane et deux carènes latérales divergentes, partant de part et d'autre de la lunule médi-apicale et contournant les stigmates entre la base du propodeum et ceux-ci, la carène médiane porte de chaque côté quelques carènes transversales secondaires rejoignant parfois les carènes latérales, celles-ci sont réunies aux carènes latérales post-operculaires par un réseau de carènes, plus ou moins absent à la base du propodeum, ailleurs tégument lisse et brillant, stigmates assez grands; chez le ♂, le disque entre les carènes latérales est, par surcroît, plus ou moins striolé longitudinalement (fig. 117).

Ailes (fig. 116) : 1^{re} abscisse de la radiale à peu près égale à la largeur du stigma et légèrement plus courte que la transverso-cubitale, celle-ci est

droite, plus mince que la précédente, toutes deux épaissies à leur point de jonction et formant entre elles un angle accusé; partie apicale de la 1^{re} abcisse de la cubitale moitié moins longue que la récurrente et que la transverso-cubitale; radiale émise au tiers distal du stigma; stigma plus court que le métacarpe.

Pattes III : hanches rugoso-réticulées, plus faiblement sur la face externe, à peu près comme la face externe des fémurs, mais moins régulièrement, onychiums petits. Proportions : hanches, 25/50; fémurs, 16/58; tibias, 10/67; tarsi : I, 33; II, 11; III, 13; IV, 8; V, 8; le plus long éperon des tibias environ les 2/3 et le plus court un peu moins de la moitié de la longueur des métatarses.

Abdomen (fig. 118) : tergite I assez mat mais brillant vers l'apex, de forme étroite et allongée, sa longueur médiane près de 5,5 fois sa largeur

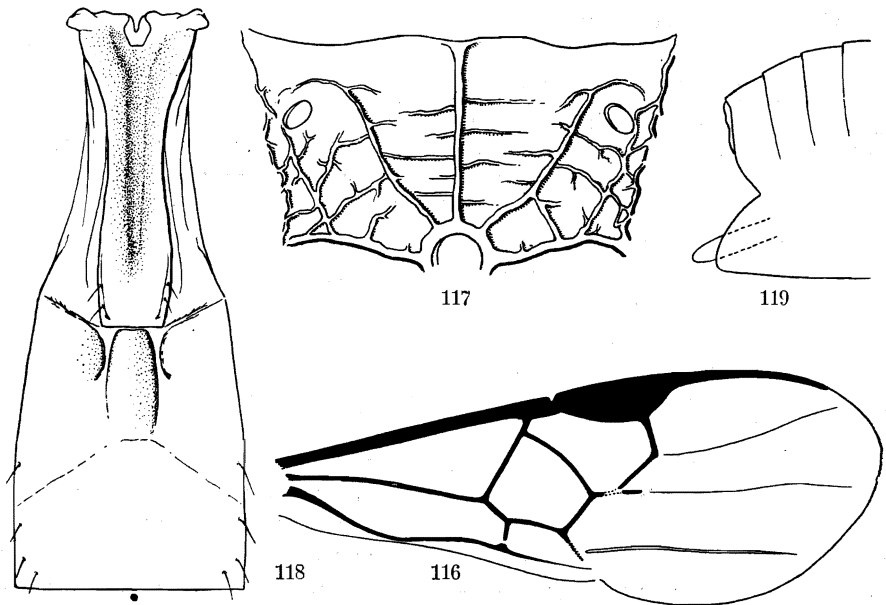


FIG. 116-119. — *Apanteles henricopus* sp. n.

FIG. 116. — Détail de la nervation de l'aile antérieure.

FIG. 117. — Carénation du propodeum.

FIG. 118. — Détail des trois premiers tergites abdominaux.

FIG. 119. — Apex de l'abdomen.

apicale et 2,7 fois sa largeur basale (27 : 5 : 10), ses bords latéraux incurvés avant le milieu, divergent ensuite légèrement et convergent après vers l'apex tronqué, sa partie la plus étroite à peine plus courte que la largeur apicale, dépourvu de toute sculpture et marqué d'un fort sillon longitudinal médian, lisse, occupant les 4/5 de la longueur du tergite; longueur médiane

du tergite II, 2 fois la largeur apicale du I, ce tergite est orné d'une aire médiane convexe, plus large au milieu qu'aux extrémités, atténuée vers l'apex, limitée basalement par deux sillons courts et assez mal marqués, les deux aires latérales près de ses sillons également un peu convexes, ses bords antérieurs obliques postéro-antérieurement; longueur médiane du tergite III, 1,3 fois celle du II, brillant et ne portant que quelques petits pointillés sur les côtés; hypopygium dépassant de peu l'apex de l'abdomen, légèrement arrondi apicalement; valves de la tarière courtes (fig. 119).

Longueurs : ♂, 2 mm.; ♀, 2,25 mm.

DISTRIBUTION GÉOGRAPHIQUE : Nyasheke, volcan Nyamuragira (alt. 1.820 m., 14-26.VI.1935), holotype ♀, 1 paratype; Kanyabayongo, Kabasha (alt. 1.760 m., 7.XII.1934); Rutshuru (alt. 1.285 m., 12.VII.1935), allotype ♂, 1 paratype; Rutshuru, riv. Lubirizi (alt. 1.285 m., 18.VII.1935); 6 exemplaires : 3 ♂♂, 3 ♀♀.

AFFINITÉS : Par la conformation toute spéciale du 1^{er} tergite abdominal, cette espèce se place dans le groupe M de WILKINSON, auprès de *Ap. pistrinariae* WILKN., dont elle diffère, toutefois, par de nombreux caractères. La forte différence de coloration entre les deux sexes peut faire supposer que les ♂♂ n'appartiennent pas à la même espèce que les ♀♀. Cependant, les caractères plastiques étant étroitement semblables, je pense pouvoir, sans erreur, réunir ces différents spécimens sous la même appellation spécifique.

Outre la conformation des deux premiers tergites, cette intéressante espèce se caractérise par la sculpture de la face, du mésonotum et du disque du scutellum, ainsi que par la longueur de la nervure transverso-cubitale.

Groupe A.

Premier tergite abdominal habituellement long, rétréci à l'apex, soit que ses bords latéraux convergent depuis la base, soit qu'ils convergent seulement à partir du milieu, ou, parallèles pour ne converger que près de l'apex; 2^e tergite non sculpté, presque toujours pourvu de deux sillons discaux divergents, ordinairement droits; propodeum non caréné ou portant, tout au plus, une carène longitudinale médiane ou des carènes transverso-basales et parfois les deux, mais ne présentant jamais d'aérole ou une apparence d'aérole; valves de la tarière habituellement très courtes, dépassant rarement la longueur des métatarses postérieurs et insérées à la base des plaques oblongues.

47. — *Apanteles parvicornis* sp. n.

(Fig. 120-123.)

♀ : noire; palpes, fémurs (sauf la base), tibias et tarsi (sauf l'article apical) des pattes II, 2/3 basilaires des tibias et base des métatarses des pattes III, costale partiellement, rouge testacé; articles apicaux des tarsi I et II et tarsi III ailleurs, bruns; éperons des tibias III, pâles; ailes hyalines;

stigma opaque, brun comme la costale sur la face inférieure; métacarpe, 1^{re} abcisse de la radiale, transverso-cubitale, 2^e abcisse de la cubitale, 2^e abcisse de la médiane et nervulus, bruns, les autres nervures presque incolores.

♀. *Tête* : face légèrement plus large que longue, un peu proéminente à la partie supérieure, brillante, à très petite ponctuation (fig. 120); clypéus un peu surélevé, différencié de la face; ostioles faciales plus près de l'apex du clypéus que des yeux; vertex ponctué à peu près comme la face, mais un peu plus éparsément; occiput et tempes ponctués plus fortement et plus densément; antennes un peu plus longues que tête + thorax; 1^{er} article du flagellum environ 2,5 fois plus long que large, les quatre articles préapicaux un peu plus larges que longs (fig. 121).

Thorax : mésonotum pas très brillant, à ponctuation (degré 2-3) assez dense, peu distincte, les lignes des notaulices à peine différenciées; sillon préscutellaire droit, étroit et assez régulièrement crénelé; disque du scutellum un peu plus brillant que le mésonotum, à ponctuation très superficielle, à peine apparente, mais cependant présente partout et plus densément près des bords latéraux, apex un peu déprimé; mésopleures à petite ponctuation antérieure, lisses ailleurs sauf quelques très petits pointillés près du bord coxal; suture méso-métapleurale très petitement crénelée; métapleurales lisses antérieurement, finement rugueux postérieurement; propodeum rugueux et assez terne dans la moitié basale, plus brillant et à rugules plus rares ou absentes dans la moitié apicale, orné d'une carène longitudinale médiane complète et de carènes transversales situées au tiers basal, toutes ces carènes assez faibles et parfois peu distinctes.

Ailes : stigma large, 2,3 fois plus long que large; 1^{re} abcisse de la radiale les 3/4 de la largeur du stigma et un peu plus courte que la transverso-cubitale, ces deux nervures formant un angle entre elles; récurrente à peine plus longue que la transverso-cubitale et au moins 1,5 fois plus longue que la partie apicale de la 1^{re} abcisse de la cubitale, partie pigmentée de la 2^e abcisse de cette dernière environ égale au sommet de la basale; stigma un peu plus court que le métacarpe (fig. 122).

Pattes III : hanches finement et densément ponctuéées sur la facette plane en dessus à la base, petitement et peu densément ponctuéées ailleurs. Proportions : hanches, 17/28; fémurs, 11/38; tibias, 8/45; tarsi : I, 25; II, 10; III, 8; IV, 6; V, 7; le plus long éperon des tibias les 2/3 et le plus court le 1/4 de la longueur des métatarses.

Abdomen (fig. 123) : tergite I excavé à la base, plus fortement au milieu où l'excavation se continue par un étroit sillon jusqu'à la moitié, lisse, brillant et très poli dans les 2/3 basilaires, le 1/3 apical courbé presque à angle droit et ponctué jusqu'à l'apex, celui-ci pourvu d'une petite aire médiane en relief, lisse et brillante; longueur médiane du tergite 2 fois ses largeurs apicale et basale et 1,66 fois sa plus grande largeur située envi-

ron au 1/3 basal (20 : 10 : 10 : 12), ses bords latéraux divergents jusqu'au 1/3 basal, ensuite convergents vers l'apex échancré et à angles arrondis; tergite II, 1/5 plus court que la largeur apicale du I et les 2/3 de la longueur du III, pourvu de sillons latéraux bien marqués, courbés, délimitant une aire médiane presque semi-circulaire, brillante et assez peu distinctement ponctuée, plus lisse au milieu; tergite III brillant, à petite ponctuation, à l'exception d'une aire médiane obtriangulaire à la base; hypopygium saillant, modérément aigu; valves de la tarière à peine exsertes.

Longueur : 2,5 à 2,8 mm.; ♂, inconnu.

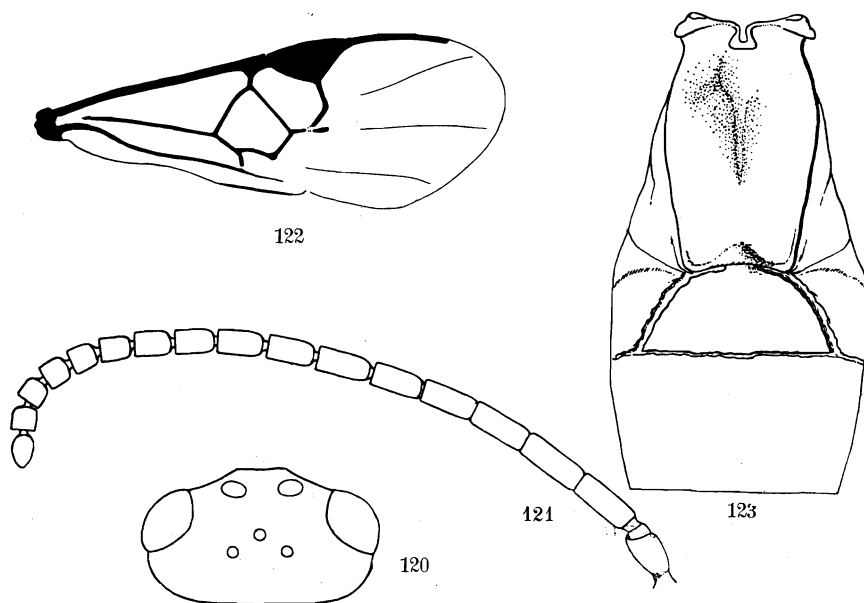


FIG. 120-123. — *Apanteles parvicornis* sp. n. ♀.

FIG. 120. — Tête, vue de dessus. FIG. 121. — Antenne.

FIG. 122. — Détail de la nervation de l'aile antérieure.

FIG. 123. — Détail des trois premiers tergites abdominaux.

DISTRIBUTION GÉOGRAPHIQUE : Ruhengeri, riv. Mugara-Kigombe, Ruanda (alt. 1.800-1.825 m., 6.II.1935); 1 holotype, 4 paratypes ♀ ♀.

AFFINITÉS : Par la présence, quoique peu distincte, de carènes transverso-basales au propodeum, cette espèce se place, dans la clef de WILKINSON, en même temps que l'espèce javanaise *Ap. sundanus* WILKN., dont elle est nettement différente. *Ap. parvicornis*, se caractérise principalement par la longueur des antennes, les proportions très spéciales de leurs articles pré-apicaux et la largeur du stigma.